造林機械に関する研究 (I)

植 穴 掘 機

 山 脇 三 平⁽¹⁾ · 富 永 貢⁽²⁾

 三 村 和 男⁽³⁾ · 平 松 修⁽⁴⁾

目 次

1. はじめに	34
2. 内外の植穴掘機	34
2.1 原動機による大別	35
2.2 植穴掘刃による大別	37
3. 実験装置と方法	38
3.1 被試験土壌の固定	38
3.2 実 験 装 置	38
4. 実験 結果)3
4.1 総合穴掘トルク)3
4.2 植穴掘刃試験装置の無負荷時駆動トルク)4
4.3 貫入速度と穴掘トルク)5
4.4 土壌硬度と穴掘トルク)5
4.5 土壌含水率と穴掘トルク	
4.6 植穴掘刃回転数と穴掘トルク	
4.7 植穴掘刃周速と穴掘トルク10	
4.8 土壌採取刃の回転数および周速と穴掘トルク10	2
5. 1 人用植穴掘機の試作10	3
5.1 エンジンの選択10	3
5.2 植穴掘刃の形式の選択設計10	4
5.3 植穴掘刃回転数と直径の選択設計10	5
5.4 動力伝達方式の選択設計10	
5.5 ハンドル形式その他の選択設計10	
5.6 林試式DR III形およびDR IV形 1 人用植穴掘機の性能仕様11	2
6. おわりに11	9
文 献	9
参 考12	o
Dám	

1. は じ め に

昨今のわが国一般産業界好況の波は、林業界では林業労務者とりわけ造林労務者の不足という余波をひきおこし、各林業地で事業実行の困難をうつたえる声が大きくなり、いわゆる造林作業の機械化の必要が力説されている。換言すれば、第2次大戦後産業界をおそつた機械化あるいは生産性向上運動の波が、林業界では伐木集運材および林道建設の分野をひとわたりして、最近ようやく造林の分野におしよせてきているということができるようである。この辺の事情は、内外に眼を転ずれば、ただわが国林業界だけの現象ではなく、海外先進諸国の林業界にも共通した現象とみられ、いずれの先進国も、まずあたらしい造林機械の開発研究に期待をかけているといつた感が深い。

もつとも、造林機械は、保護関係を含めて一般に育苗関係(苗畑)機械、育林関係機械に大別され、前者はその国に普及している農業機械の応用すなわち海外先進国では4輪ホイールトラクタの利用、わが国では2輪耕うん機の利用(これも農業政策の転換から海外と同様にホイールトラクタの利用にかわりかけてきていて、機械化思想からいえば必然的な現象で、苗畑機械もこれを見越した対策をもつことが必要だろう)というかたちを主力として、比較的容易に相当程度の機械化がはかられてきている。これに対し、後者は放藤林誠東大教授(元・林業試験場技師)の多年の改良考案になるブッシュクリーナを中心とする地ごしらえ・下刈作業用の刈払機が、ようやくひろく普及しはじめたところで、植穴掘り、植付けその他育林作業全般の機械化は今後の課題として残され、従来の人力作業のみに依存した造林方法にいちじるしい変革をもたらさずにはおかないような独創的機械あるいは機械化作業法の開発に夢が托されているといっても過言でないようである。

ここに報告する植穴掘機は、この1、2年の間に、海外でもようやく林業専用機として開発の必要がみとめられてきてはいるものの、動力鋸、刈払機につぐ山岳林での使用にたえる1人用機としては、まだほとんどみるべき機種がない。よつて、われわれとしては、この種の機械の考案設計および使用の上で必要とされる林地土壌に対する植穴掘刃の植穴掘特性をあきらかにする実物実験をおこなうとともに、それらの実験結果にもとづいてとくに、国産1人用植穴掘機を考案試作し、数回の現地立会試験のうえ、その実用性にも検討をくわえ、林業機械国産化の技術資料の獲得につとめたものである。

これまで、いろいろとご配意を賜わつた斎藤場長、小幡経営部長、米田作業科長、それぞれ専門の見地から率直な要望とご意見を賜わつた坂口造林部長、加藤造林科長、土井技官、岸技官、宮崎土壌調査部長、黒鳥地質研究室長、川口防災部長、渡辺治山第二研究室長、岩川技官、現地試験に多大の便宜を与えられた林野庁業務課高桑機械班長、牛山造林班長、研究普及課宮川機械化企画官、東京営林局三宅経営部長、治山課横山技官、小川技官、木村平塚営林署長、相馬経営課長、市川係長、斎藤担当区主任、東京都林務課坂口技師、伊藤技師、東京都水源林事務所立石技師、木村技師をはじめ各現場係官各位に対し、心から厚くお礼申しあげたい。

2. 内外の植穴掘機

海外の製品を通じていえることは、とくに造林用植穴掘機としてつくられたものはほとんどなく、土建 作業の杭打ちにつかう杭穴掘機としてつくられたものがすべてといつてよいくらいで、それをそのまま植 穴掘りに転用するか、まれに 2、3 のものはその刃先を植穴掘専用刃と交換して使用するもので、その作用は、いずれも、原動機の回転を減速して回転式作用刃につたえるドリル式の機構を採用している。したがつて、原動機から作用刃への動力伝達方式にはいろいろな方式が考えられるが、原動機および植穴掘刃の形式から大別すると次の種類にわけられる。

2.1 原動機による大別

- a. トラクタ塔載形………農耕用ホイールトラクタあるいは小〜中形クローラトラクタを原動機 に採用,後部 PTO 軸から動力を取り出し垂直方向に動力伝達軸の方向をかえて作用刃をとりつけ,3点 支持装置のような特別な作用刃上下移動用支持枠を装備している(Photo.1,2)。
- b. ハンドトラクタ塔載形………農耕用 2 輪小形トラクタあるいはそれに類似したものを原動機 に採用,後方に動力を取り出し,歩行操縦用ハンドル下方で垂直方向に動力伝達軸の方向をかえて作用刃 をとりつけ,前方駆動輪を支点としたハンドルの上げ下げにより,作用刃の上下操作をおこなえるように している (Photo. 3)。
- c. 手持可搬形………2サイクルの軽量可搬形エンジンに減速機構を付置して作用軸を取り出し その先に作用刃を取り付けられるようにした

もので、 $1 \sim 2$ 人用の手持ちハンドルでエンジン部をささえ、持ち運びおよび穴掘り作業をできるようにしている(Photo. $4 \sim 7$)。

原動機の能力からいえば、トラクタ形が十数馬力以上、ハンドトラクタ形が数馬力~10馬力前後、手持式が2、3馬力~数馬力というところで、平地での植穴掘りあるいはポプラのように大きな苗木の数十 cm以上の直径と深さを必要とする植穴掘りには、トラクタあるいはハンドトラクタ塔載形の植穴掘機が望ましい。もつともトラクタ塔載形は操縦者は乗車したまま運転すればよいわけたから、

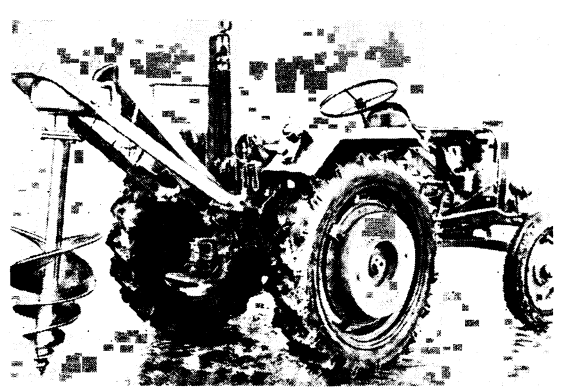
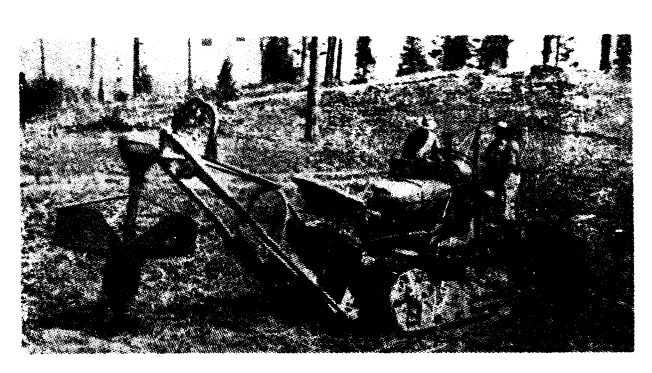


Photo. 1 トラクタ (ホイール) 塔載形穴掘機⁵⁾
Four wheel tractor mounted type earth drill.
Holder-Diesel-Vierradschlepper B 10/D
エンジン 10PS, 刃径 300 mmφ, 機体重量 700 kg



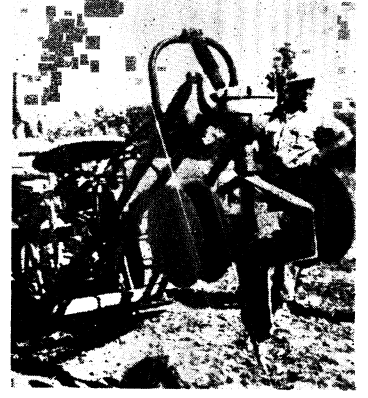


Photo. 2 トラクタ (クローラ) 塔載形植穴掘機2 Crawler tractor mounted type earth drill.

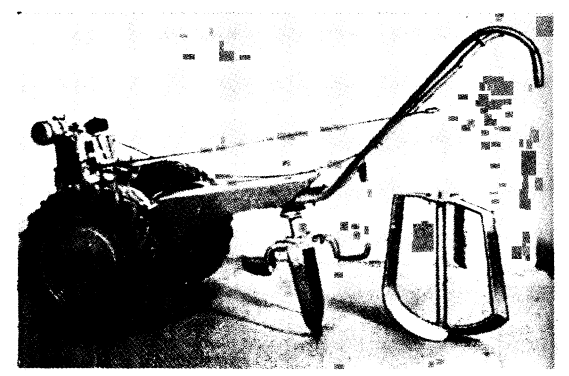
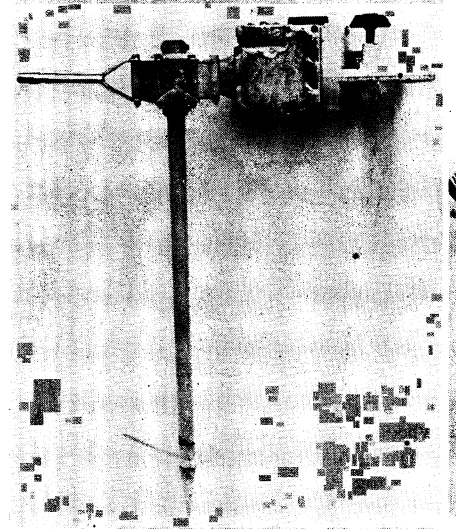


Photo. 3 ハンドトラクタ塔載形植穴掘機⁴ Hand-tractor mounted type earth drill. Hako-Fräse エンジン 4 PS, 刃径 400~600 mm¢



Photo. 4 2 人用植穴掘機¹⁾ Two-man earth drill. H. Griot Mashinenbau 製 (スイス) エンジン 5 PS, 自重 25 kg, 刃径 ~300 mm¢, 刃回転数 60 rpm



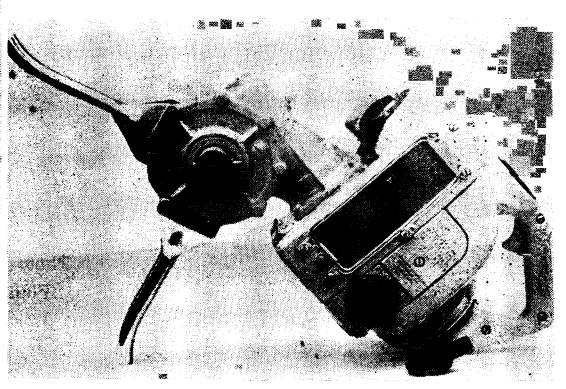


Photo. 5 手持式 1~2 人用植穴捆機 One or two-man portable earth drill. 新宮商行製 エンジン 2.6 PS, 自重 4 kg 刃径 250 mmφ, 刃回転数 100 rpm

機械化形式としてはいちばん進んでいるが、海外では杭穴掘機につかわれているのが主で、植穴掘機としてはアメリカおよびドイツの平地林で試用されているにとどまる。ハンドトラクタ塔載形はおもにドイツの平地林で、植穴掘専用機としてつかわれている模様で、後述のフォーク形植穴掘刃を取り付け、数十 cm径の植穴掘りをおこなわせている。手持可搬形は海外では2人用が主で、杭穴掘り兼植穴掘りにつかつているが、重量は少なくとも二十数 kg 以上で平地での使用にとどまつている。1人用機はアメリカ、ソビエトなどに最近現われているが、チェンソーエンジンを利用した植穴掘専用機が1、2種みられるけれど、あまりつかわれている様子はない。どちらかといえば小形のアウトボード・エンジン(船外機)を利用した手持式およびフレキシブルシャフトを利用した背負式の杭穴掘兼植穴掘機に興味をひくものがある(Photo. 6、8)。

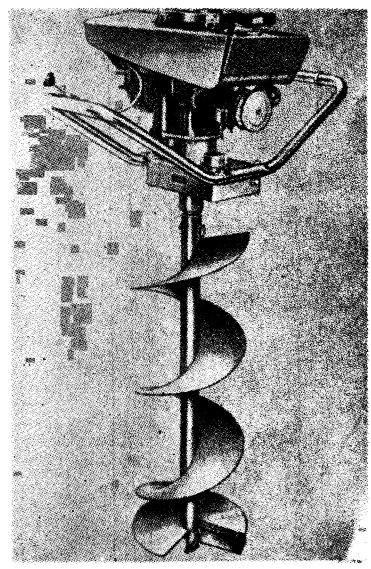


Photo. 6 手持式 1~2 人用穴掘機 One or two-man portable earth drill. エンジン 2.5 PS, 自重 20 kg

2.2 植穴掘刃による大別

a. スパイラル 形………スクリュー形 (screw) あるいはグルーブ形 (groove) ともいわれるもので、地中 ヘドリルするとともに、いわゆるスクリュー・コンベヤと もいえる作用で、掘さくした土を地上に排出する形式であ る。軸に対する鉄板のまきつけが一重のもの(シングル・ スパイラル), 二重のもの (ダブル・スパイラル— Photo. 1), 先端だけ二重のもの (Photo. 6) など各種のもの が あり、杭穴掘刃としてはもつとも普通のもので、植穴掘刃 もこの形あるいはその変形を採用したものが多い。

b. プロペラ形 ……… いわゆるプロペラの形をし たもので、ダブル・スパイラルの二重まきらせん面を軸の 1点で左右対象に切り残した構造ともいえ, 地中へドリル するというよりもミックスするといつた方がふさわしい作 用のもので, 植穴掘専用刃である (Photo. 5)。

c. フォーク形 ……… ドイツ, オーストリアで採 用されている植穴掘専用刃で, 植穴掘軸の先端でそれと直 交し植穴掘半径に相当する腕をもつた鉄板の端末から軸と 平行に、普通は対称に2本、ときに放射状に3本植穴深さ Knapsack type one-man earth drill. に相当する長さだけつき出し、ふたたび尖端が内方に折れ 曲がつた鈍刃、いわゆるフォーク状(筆者仮称)に取り付



Photo. 7 手持式1人用植穴掘機 One-man portable earth drill. Mc Culloch Co. 製 (アメリカ) エンジン 3 PS, 自重 12 kg, 刃回転数 480 rpm

"参考"

MB-1型 植穴掘機 (ソビエト製) 自重 14.2 kg, 刃径 50~80 mmφ (スパイラル)2)



Photo. 8 背負式1人用穴掘機1) Hyaes Mfg. Co. 製 (アメリカ) エンジン 2.5 PS, 自重 15 kg, 刃径 120~150 mmø

けたかたちをしていて、前者とおなじように地中で土をミックスすると同時に、植穴周辺の根切りをおも におこなわせる作用のものである。

このほか、乾燥地帯の特別な植穴掘り(地表の直径約 91cm)につかうトラクタ塔載形の特大植穴掘刃がアメリカでつくられている(Photo. 2)。

以上のように大別される植穴掘刃も、林業機械としてどのような作用特性をもつているか発表された資料はない。土壌の硬軟あるいは砂礫の混合さらには地表に蔓草類が繁茂する林地で植穴掘りする機能は、一見してきわめて複雑というほかはない。しかし、山岳林での携行使用が可能な機種を標傍するわれわれとしては、物理的に条件標示の可能な土壌硬度あるいは土壌含水率別の上記代表的植穴掘刃の回転数別植穴堀特性などは、基礎資料として少なくとも獲得しておく必要のあるもので、この種の林業機械改良の議論をすすめる重要な足がかりになるものといつてよい。

3. 実験装置と方法

回転式植穴掘刃が林地土壌に掘さくをすすめる場合、植穴掘刃回転力に直接影響を与える因子は、土壌 条件の面では土質、土壌の硬軟、水分の多少、礫および根の大小・硬軟・多少などであり、機械の面では 植穴掘刃の形状、回転速度、貫入速度などがおもなものと考えられる。

3.1 被試験土壌の固定

土壌条件のなかでも、礫および根の大小・硬軟・多少等土壌中にふくまれる条件はきわめて複雑で、人為的に再現することがむずかしいので、これ以外のいわゆる土壌条件の基本になる土質、土壌の硬軟、水分の多少を2、3 えらんで、約 $65cm \times 65cm \times 65cm$ の大きさの 木箱の中に 被試験土壌をつくることにした。土質には、黒土、赤土、砂をえらび、含水量は飽和直前の状態までを適当にえらんだが、土壌の硬軟を一定の深さにわたつて一様にするのはなかなかむずかしかつた。木箱に供試土壌を底から約 5cm厚さずつ入れ、それに一定の重さの重錘を、所要の硬さに応じて落下高さと一定の箇所におとす回数を加減しながらてん圧させ、これを木箱いつばいの深さになるまでくりかえして、容量 100kg のコーン・ベネトロメータ(貫入硬度計、cone penetrometer)で深さ別の土壌硬度をチェックしつつ被試験土壌をつくつた。なれるまでは表面よりも深いところほど硬くしめ固められがちだつたが、コッを覚えてからは正味の試験深さ、すなわち表面から $5\sim30cm$ の深さをほぼ一様の土壌硬度に保つことができた。

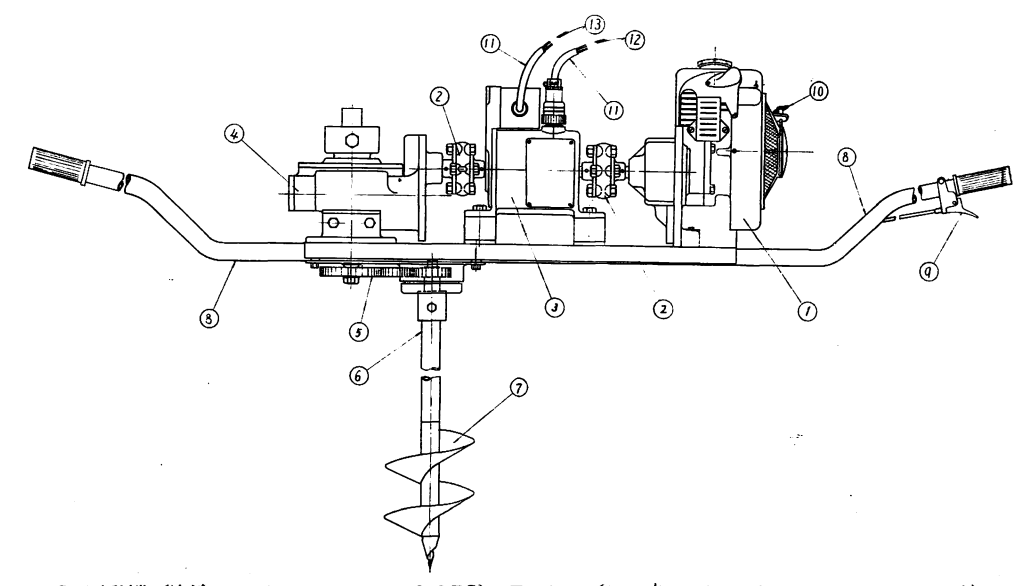
3.2 実験装置

いろいろな条件での植穴掘刃の回転掘さく中の所要抵抗をはかるには、植穴掘刃作用軸の回転力を直接 測定するのがいちばんよい。しかも原動機に回転数の調節可能な可変モータをつかえば、ガソリンエンジンより回転中のトルク変動も少なく、また変速装置を特別つける必要もないから実験装置としてはいちばん望ましくなる。しかし、われわれが現在山岳林で1人用植穴掘機につかえる2サイクルの小型ガソリンエンジンは、少なくとも2、3PSは必要で、最大トルク0.3~0.5 m・kg のものになる。したがつて、エンジンのクランクシャフトのトルクは、たいへん小さなものだが、これが植穴掘刃作用軸へは数十分の一に減速されてつたえなければならないから、作用軸のトルクは相当大きなものになる。また2、3PSの可変モータを原動機に採用すれば、同馬力のガソリンエンジンよりはかなり重いものをつかわなければならず、実験装置だけにかなりの予算を必要とすることになる。よつてここでは、原動機には実験後に試作機のエンジンとしても共通につかうことのできる、国産のガソリン・チェンソーのエンジンをつかい、

トルクの測定は植穴掘刃の回転を減速してからエンジン・シャフトに連接する簡所に、ひろくチェンソー 系統のエンジントルク測定用につかえる小容量の抵抗線ひずみ計を応用したトルク・ピックアップを挿入 して、いわゆるエンジン・トルクをはかり、植穴掘刃作用軸の回転力の比較にかえることにした。

3.2.1 装置本体 (Fig. 1 参照)

植穴掘刃の被試験土壌への貫入速度を、所定の速度に調節できる機構をもつた、せめて手動式の装置本 体昇降用支持台つきのものとする必要があつたが,不本意ながらこの速度調節も人力にたよることにして, Fig. 1 のような2人持形植穴掘刃試験装置本体を製作した。すなわち、国産ふじラビット・チェンソー用 TL22 形単気筒空冷 2 サイクルガソリン・エンジン (最大トルク0.5 m·kg, 最大出力3.2PS-後出) を原動 機①とし,ゴムカップリング②を経て,トルクピックアップ③に連接,ふたたびゴムカップリング②を経 て. 主滅凍歯車である 1 対の平歯車(Z₂/Z₁=59/21=2.8)およびウォーム&ウォーム歯車(Z₂/n=40/2=20) の組合わせ①で大きく減速すると同時に直角方向に動力を伝達させ、さらに1枚を中間歯車とした2枚ず つの平歯車の組合わ せで変速できるようにした変速歯車($Z_6/Z_7=30/42=0.72\cdots$ 60 rfm, $Z_7/Z_6=42/30$ $=1.4 \cdot \dots \cdot 120 \text{ rpm, } Z_8/Z_5=49/23=2.1 \cdot \dots \cdot 18) \text{ rpm, } Z_9/Z_4=53/16=2.8 \cdot \dots \cdot 240 \text{rpm, } Z_{10}/Z_4=56/16=2.8 \cdot \dots \cdot 120 \text{ rpm, } Z_{10}/Z_4=50/16=2.8 \cdot \dots \cdot 120 \text{ rpm, } Z_{10}/Z_4=2.8 \cdot \dots \cdot 120 \text{ rpm, } Z$ $3.5 \cdots 3.5 \cdots 3.00$ rpm, $Z_{11}/Z_4 = 96/16 = 6 \cdots 510$ rpm, これはあまりはやすぎて実用性にとぼしく, ほとんど つかわなかつた)⑤をとりつけられるようにし、その終段歯車からでた作用軸⑥の下端に、任意の植穴掘 刃のをとりつけできるようにした。ここで平歯車のとりかえ組合わせによる変速で,植穴掘刃の実測回転 数は上記() 内に示した60, 120, 180, 240, 300, 510 rpmの各種にかえることができた。なお, これ



- ① 原動機 (空冷 2 サイクルガソリン 3.2 PS) Engine (2-cycle, aircooling, gasoline, 3.2 PS)
- ② ゴムカップリング Gum coupling
- ④ ウオーム&ウオーム歯車 Worm and worm wheel ⑤ 変速歯車 Variable speed gear
- ⑥ 植穴掘軸 Hole-digging shaft
- ⑧ ハンドル Handle
- ① スタータ Starter
- ② トルク指示計 Torque indicator

- ③ トルクピックアップ Torque pickup
- ⑦ 植穴掘刃 Auger
- ⑨ スロットル Throttle
- ① リード線 Lead wire
- ⑬ 馬力指示計 Horsepower indicator

Fig. 1 実験装置本体 Experimental device.

ら一連の装置は梯子形支持枠®上に載荷され、両端のハンドルを2人の作業者がもつて、呼吸を合わせて 被試験土壌に貫入操作することになる。Fig. 2 は変速歯車の組合わせ例である。

3.2.2 測定計器 (Fig. 3 参照)

前記の装置本体にとりつけたトルクピックアップおよびこれとリード線で遠隔式に連動するトルクおよ

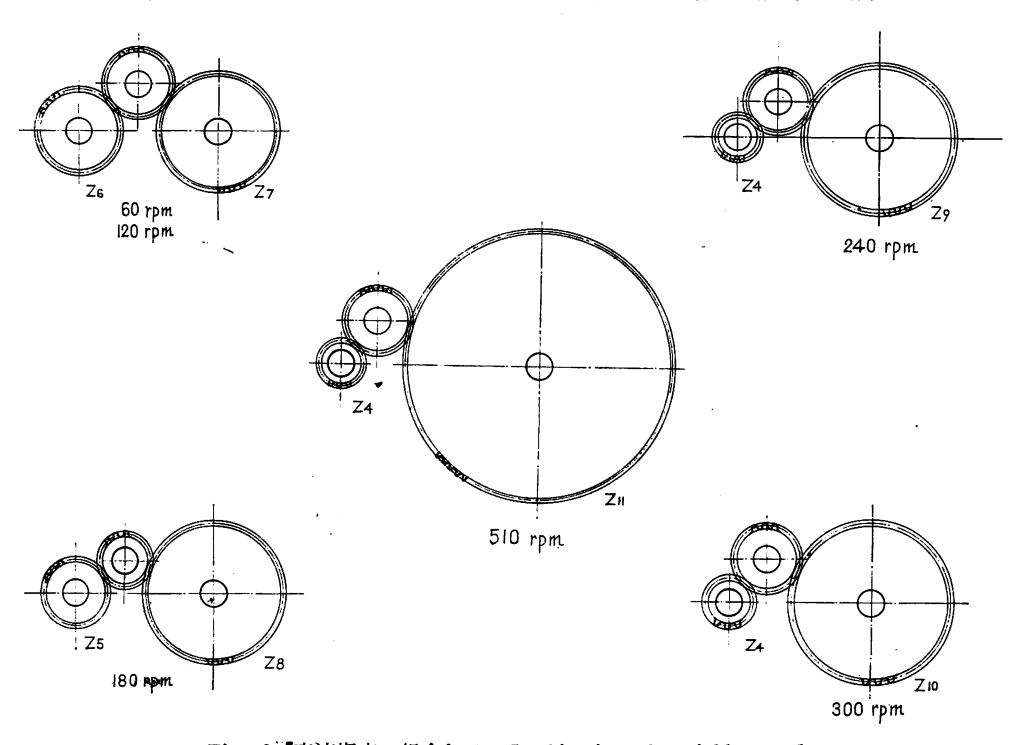


Fig. 2. 【変速歯車の組合わせ Combination of variable speed gear

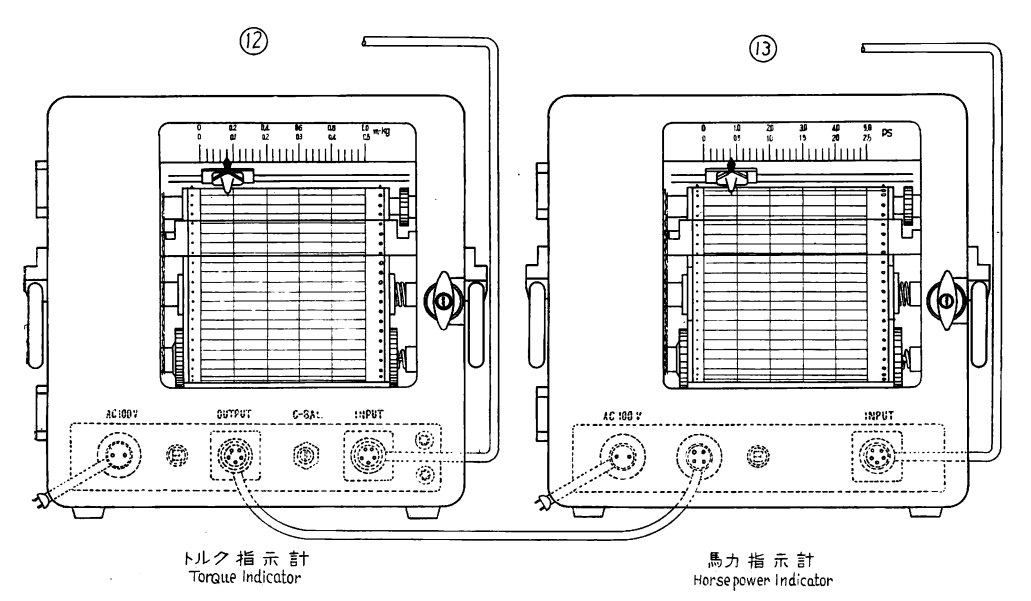


Fig. 3 トルクおよび馬力指示計 Torque and horsepower indicator.

Table 1. 測定計器の性能概要

		性	能要目
トルクピックアップ	K 社製 TP-01 C	形	(回転計付)
	トルク容量	量	$1 m \cdot kg$
	最高回転数	数	9,000 rpm
	直 線 性	生	定格の 0.3 %以内
	ゲージ抵打	亢	120 Ω
	過負荷耐量	l l	120 %
	全長×全幅×全高	高	230mm × 150mm × 215mm
トルク指示計	K社製 SR—170 H	形	
	目 盛	茊	$0\sim0.5,\ 0\sim10$ m・kg 2 段切替え,なお将来30m・kg
			の測定もできるようにその目盛もいれてある。
	応 答 速 度	隻	0.3 sec.
	直線性	生	0.2 %以内
	記 録 糸	紙	幅 120mm, 送り速度最高 4 mm/sec. 6 段変速。
	電	原	100 V, 50c/s
馬力指示計	K 社製 SR—180 H	[形	
	目 星	茲	0~2.5,0~5.0 PS 2 段切替え, なお将来50,100
			PS の測定もできるように、その目盛もいれてある。
	応答速	蒦	0.3 sec.
		-	0.2 %以内
	記録刹	纸	トルク指示計におなじ
		原	同上

び馬力指示計が、この実験に応用した測定計器で、いわゆる電子管自動平衡式のインク書き記録のできる機構をもち、作動軸のトルクおよび馬力を、実験場所から50m程度まで離れた任意の場所で測定記録できる点に特徴をもたせてある。これら測定計器のおもな性能はTable 1 のとおりである。なお、この測定の基本をなすトルク指示を静的に検定し、記録値を随時較正することのできる Fig. 4 のようなトルク検定器を自作した。

3.2.3 試験用植穴掘刃 (Fig. 5-a~f, Table 2 参照)

前項にあげた内外の代表的植穴掘刃のなか

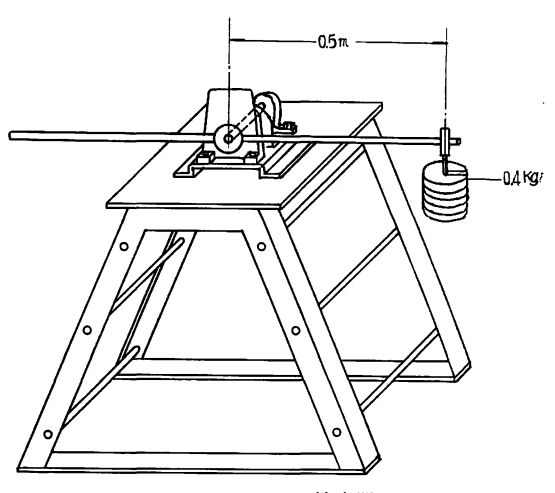


Fig. 4 トルク検定器 Torque tester.

から、1人用植穴掘機としてつかえそうな大きさのものとして、Fig. 5-a~f のようなシングル・スパイラル形 2 種、ペロペラ形 4 種、フォーク形 1 種の計 7 種を試験用植穴掘刃とし、さらに参考として、ソイルサンプラー用土壌採取刃 3 種も試験に供した。試験用植穴掘刃には、形別に直径 150, 200, 250 mm の

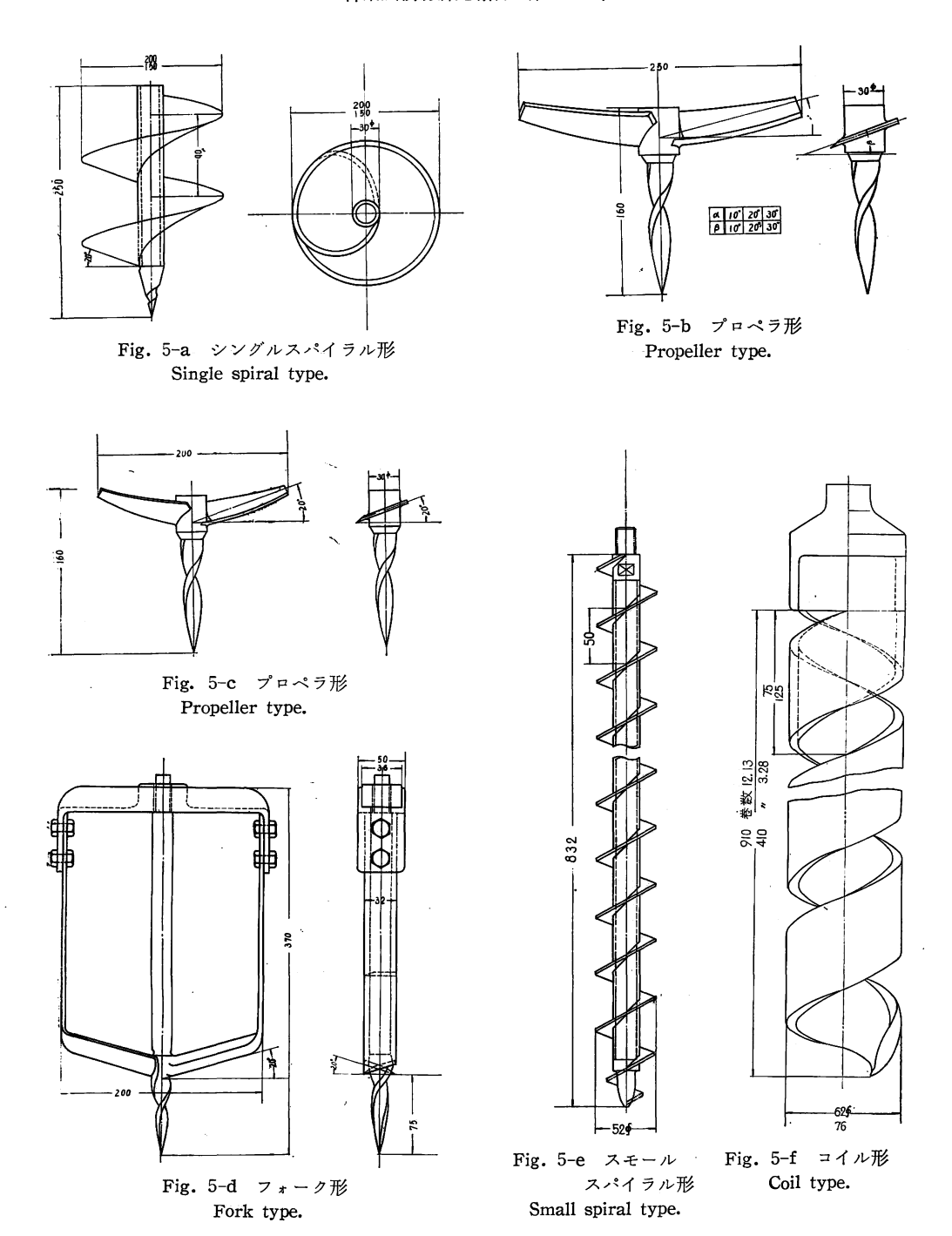


Fig. 5 試験用植穴掘刃 Augers for test.

各径のものをそれぞれ供試するのが望ましかつたが、 製作の都合から Table 2 にしめす種類にとどまつた。 プロペラ形のみ角 α , β をひとしく 10° , 20° , 30° の 3 種にかえたものを供試した。

Table 2. 試験用植穴掘刃および土壌採取刃 Augers for tree-planting and soil-sampling used for experiment.

	形	式 Гуре		直 径 Diameter)形状 ape	符 号 Mark	参照図 Reference Fig.
	シングル・	スパイラ	ル形	150 mm	$a_1 \alpha = 20^{\circ}$		0	Fig. 5, a
	Sing	le spiral		200	a =20°		0	"
植穴掘刃				200	α=20°,	β=20°	\triangle	Fig. 5, b
Auger for	プロ	ペラ	形	250	$\alpha = 10^{\circ}$,	β=10°		Fig. 5, c
Tree-planting	Pr	opeller		250	$\alpha = 20^{\circ}$,	$\beta = 20^{\circ}$		"
	!			250	<i>α</i> =30°,	β=30°		"
	プ ォ	ー ク Fork	形	200	α=20°,	β=20°		Fig. 5, d
					長さ	巻 数		
	スモール・	スパイラ	ル形		Length	Pitch	: !	
土壤採取习	Sma	all spiral		52	832mm	16+1	*	Fig. 5, e
Auger for		ル A coil-A	形	62	910	12.13	Þ	Fig. 5, f
soil-sampling		ル B oil-B	形	76	410	3.28	Ø	"

4. 実 験 結 果

4.1 総合穴掘トルク

回転式植穴掘刃を土壌中に貫入させて、穴掘作業をさせるとき、植穴掘刃作用軸の回転が減速歯車をかいしてエンジン駆動軸に作用する総合トルクは、土壌と機械の各種の条件が影響をおよぼすもののうちおもなものを取りだせば、ある土質については、ほぼ次式のような、各影響因子の加算されたものが作用すると考えてさしつかえなかろう。

 $T=To+Tvp+Th+Tw+Tvc+Tr\cdot g$ (1) ここで

T =総合穴掘トルク m·kg

To =植穴掘機自身の駆動トルク m·kg

Tvp=植穴掘刃貫入速度のおよぼす影響 m·kg

Th =土壌硬度のおよぼす影響 m·kg

Tw =土壌含水率のおよぼす影響 m·kg

Tvc=植穴掘刃周速(回転速度)のおよぼす影響 m·kg

Tr·g=土壌中の根や石礫などのおよぼす影響 m·kg

もつとも、この(1)式にあらわされるもののうち、土壌中に含まれる根や石礫などの影響は、それらの 硬軟、大小、多少などのさらに分析された要因が大きく影響してくるはずだが、これらの影響をくわしく 実験的にしらべることはかなりむずかしく、またわずらわしい。したがつて、われわれの実験ではこれらの 影響についてはとくに傾向をみいだす実験をしなかつた。しかし、ほかのすべての因子については、前述 の実験装置について、ひととおりの傾向を実物実験としてたしかめることができた。つまり、われわれが 植穴掘機をあたらしく設計するとか、あるいは林地で実際に使用する場合。(1)式に示される総合穴掘り

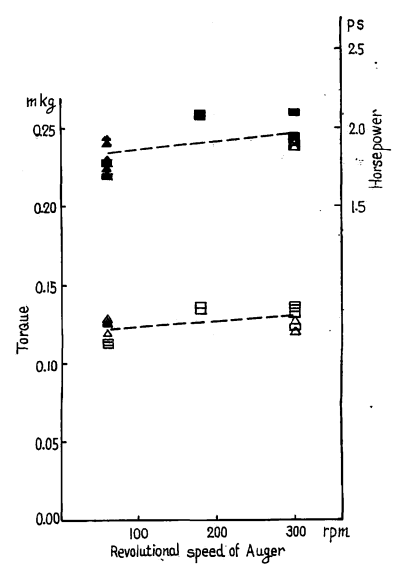


Fig. 6 実験装置の無負荷時駅 動トルク Driving torque of experimental device on no load.

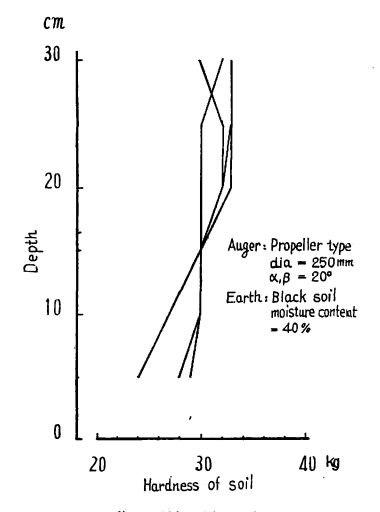


Fig. 7 深さ別土壌硬度 (貫入速度別試験) Hardness of soil at any depth.

ルクTのうち $Tr \cdot g$ がわかつていなくても,その他のTo, Tv_P , Tv_C , Tw, Th などの傾向をつかんでおけば,これらの加算されれ総合穴掘トルク T_1 ($T_1 = T - Tr \cdot g$)を植穴掘機に装備されるエンジンのもつ最大トルク T_{max} . より相当小さくしておきさえすれば(T_{max} . $> T_1$),その差 T_{max} . $-T_1$ で, $Tr \cdot g$ に相当する根切りあるいは石礫のかきまぜ作用をおこなわせることができると考えればよいわけである。

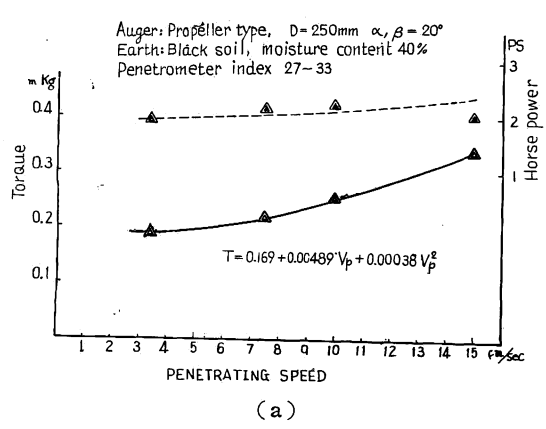
4.2 植穴掘刃試験装置の無負荷時駆動トルク

(1)式の右辺第1項 To に相当するこの植穴掘刃試験装置自身の駆動トルク T'oは、無負荷状態で、回転数別に駆動させ、そのときの測定値から平均トルクを求めればよい。この試験装置はきびしくいうと、平歯車の組合わせをかえて変速をおこなわせているから、回転数別に動力伝達効率はかわつているはずである。またこの試験装置は、この変速歯車のほかに比較的大きな減速歯車をもたされているから、いわゆる実用機よりも機械効率が劣るものと想像されるが、実験につかつた変速の範囲では、 Fig'6 にしめすような値で、植穴掘刃回転数との関係は次式であらわされるようだ。

Vr=植穴掘刃回転数 rpm

くわずか駆動トルクがふえる程度で、ほとんど無視してさ

したがつて、下記に報告する各実験結果は、いずれもこのT'o あるいは P'o の値をふくんだもので、回転数別の動力伝達効率の差は、この実験につかつた回転数の範囲ではほとんどなく、しいていえば回転数がふえると一次的にご



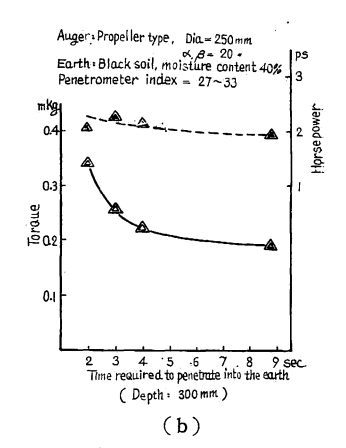


Fig. 8 貫入速度のおよぼす影響 Torque of earth drill influenced by the penetrating speed of auger.

かえない程度のものである。しかし、この試験装置自身の駆動トルクの絶対値は予想どおりかなり大きく $0.12\,m\cdot kg$ 程度であつた。

4.3 貫入速度と穴掘トルク

植穴掘刃を回転させながら土壌中へ貫入させる場合、普通はその押し込み力が、穴掘トルクに大きく影響するはずである。われわれの実験では、試験装置が2人持形であるためかなり重く(自重約40kg)、とくにこの押し込み力をはかれなかつたので、それにかわるものとして、植穴掘刃貫入速度のおよぼす影響をしらべた。すなわち、被試験土壌(黒土)の含水率(40%)および硬度をほぼ一定の状態にして(Fig. 7)、一定の深さ(30cm)を穴掘りするに要する時間を秒時計ではかることによつて、貫入速度をいろいろとかえた実験をこころみた。その結果は Fig. 8-a、b のとおりで、貫入速度がおそいすなわち押し込み力が小さいときは、穴掘トルクは小さくて多少の速度変化ではあまり影響しないが、貫入速度がはやくなるすなわち押し込み力が大きくなると、次式のように二次曲線的に穴掘トルクが増大する傾向をしめしている。

$$T'v_p=0.169+0.00489V_p+0.00038V^2p$$
(3)

ここで、 $T'v_p =$ 植穴掘刃貫入速度の影響をうけた穴掘トルク $m \cdot kg$

Vp =植穴掘刃貫入速度 m/sec

したがつて、下記の各影響因子をしらべる実験では、貫入速度を、その多少が穴掘トルクにほとんど影響を与えない 5、 6 cm/sec 程度に、とくにえらんで実験をすすめ、毎回貫入速度がかわることにより、その影響をうけるのを避けるようにつとめた。

4.4 土壌硬度と穴掘トルク

被試験土壌(黒土)を供試箱にいれ、箱の底から約5cm 厚さずつつきかためながら、表面から $10\sim30cm$ の間がとくにほぼおなじような土壌硬度となるように、所定の力でしめ固めた。もつとも土壌硬度はペネトロメータの指針の $5\sim50kg$ の範囲で数種の段階にわけ、それぞれの硬度になるように、しめ固め強さあるいは回数を加減するのに、とくに工夫をこらした。

このようにしてつくつた各硬度別の含水率一定(40%)の被試験土壌に、1、2の植穴掘刃を回転数および貫入速度を一定にして貫入させ、土壌硬度がほぼ一定にたもたれた深さ $10\sim30\,cm$ の間の平均穴掘ト

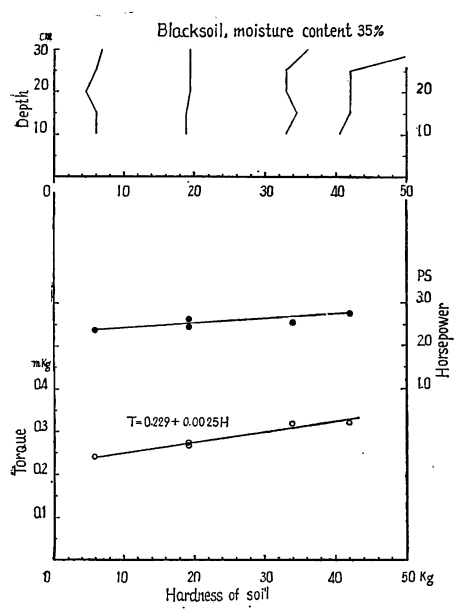


Fig. 9-a 土壌硬度のおよぼす影響 (スパイラル刃形)

Torque of earth drill influenced by the hardness of soil (single spiral type).

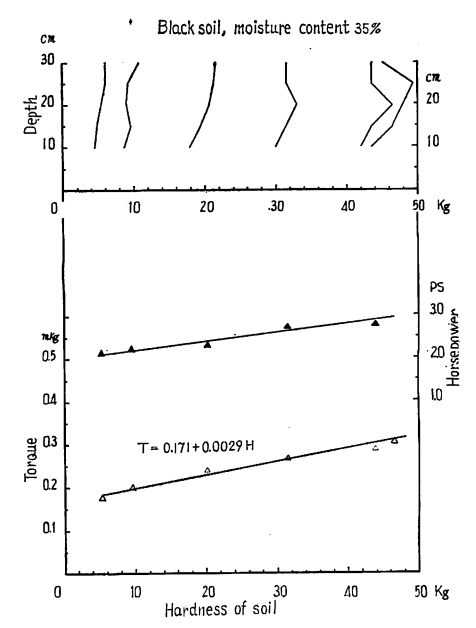


Fig. 9-b 土壌硬度のおよぼす影響 (プロペラ刃形)

Torque of earth drill influenced by the hardness of soil (propeller type).

ルクを測定し、穴掘トルクにおよぼす土壌硬度の影響をしらべた。

これらの実験結果は、Fig. 9-a,b および次式のとおりである。

$$T'h = 0.229 + 0.0025 H \begin{pmatrix} \dot{\nu} > \dot{\nu} / \dot{\nu} / \dot{\nu} / \dot{\nu} + \dot{\nu} / \dot{\nu} / \dot{\nu} \end{pmatrix}$$
(4)

ここで、T'h=土壌硬度の影響をうけた穴掘トルク m·kg

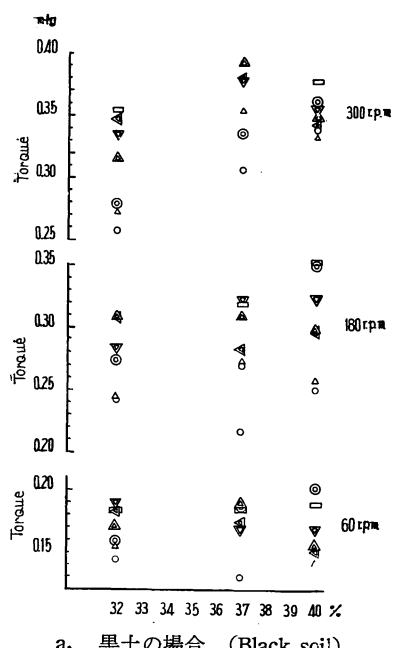
H=土壌硬度 kg

上式から、一定の含水量をもつた黒土では、土壌硬度が大きくなると、それに一次的に比例して穴掘トルクも大きくなるといつてさしつかえないようだ。もつともその増加率は、シングルスパイラル形の方がプロペラ形よりいくらかちいさ目だが大差はない。

4.5 土壌含水率と穴掘トルク

被試験土壌(黒土)を供試箱にいれ、土壌硬度をほぼ一定にたもつようにし(後述と同条件)、含水率を32,37,40%の3種にかえ、各植穴掘刃につき、貫入速度をほぼ一定にたもちながら、回転数60,180,300 rpm の3種について穴掘トルクを測定した結果は、Fig. 10-a のとおりである。

Fig. 10-a 図からわかるように、植穴掘刃の刃形によつて、測定値にかなりのパラッキがある。しかし、黒土の含有水分が飽和状態に達するまでの含水率 32~40% の範囲では、各刃形をひとまとめにしてみると、土壌含水率の穴掘トルクにおよぼす影響は、回転数 60 rpm では含水率がふえても穴掘トルクがふえるというほどのこともないが、180、300 rpm と回転数がふえるにつれ、含水率の増加にともない穴掘トルクも増加するようで、その関係は、ほぼ一次的な関係にあるといつてさしつかえないようだ。



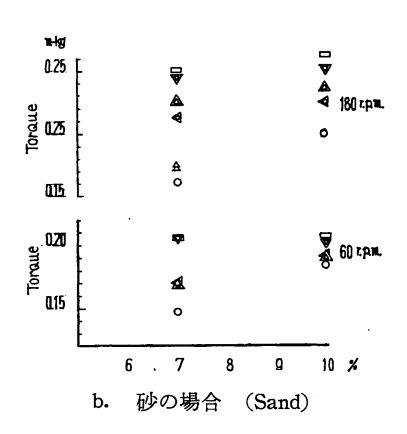


Fig. 10 土壌含水率のおよぼす影響 Torque of earth drill influenced by the moisture content of soil.

黒土の場合 (Black soi!)

なお、まつたくおなじような実験を砂について、含水率を7,10%とかえておこなつた結果は、Fig 10-bにしめしたとおりで、上述の結果とほぼ同一の傾向をしめしているといつてよい。

4.6 植穴掘刃回転数と穴掘トルク

4.6.1 黒土の場合

黒土の含水率32,37,40%の3種について、深さ別土壌硬度ができるだけ均等、すなわち平均29~30 kg の範囲になるようにしめ固め (Fig. 11-a, b, c 参照), 貫入速度をほぼ一定にたもちながら、深さ 30cm を穴掘りするときの各種植穴掘刃の回転数別 (60, 120, 180, 240, 300 rpm) 平均穴掘トルクを測定 した。

この実験結果は「Fig. 12 のとおりで、いずれの刃形も、どちらかといえば、回転数の増加につれて、

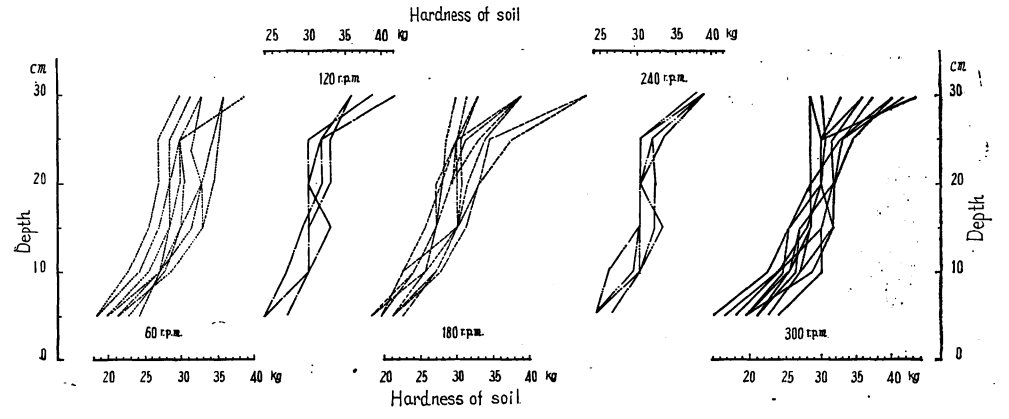


Fig. 11-a 黒土 (含水率 32%) の深さ別土壌硬度 Hardness of soil at any depth of black soil (moisture content = 32%).

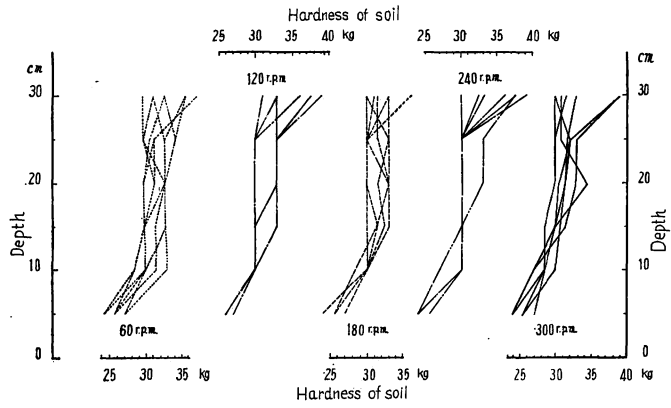


Fig. 11-b 黒土 (含水率 37%) の深さ別土壌硬度 Hardness of soil at any depth of black soil (moisture content = 37%).

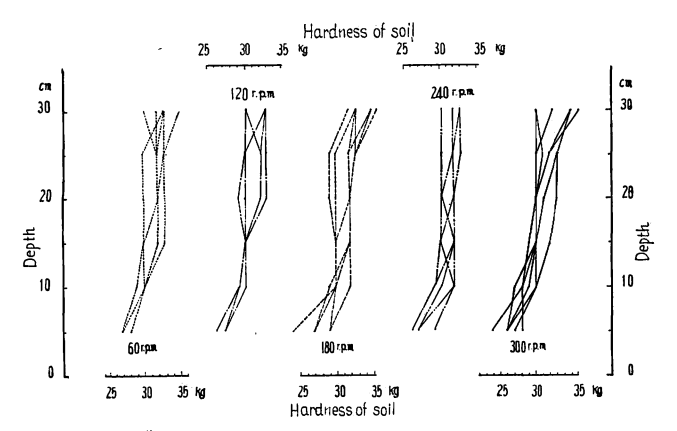


Fig. 11-c 黒土 (含水率 40%) の深さ別土壌硬度 Hardness of soil at any depth of black soil (moisture content=40%).

直線にちかいわずか上に凸の放物線をなして、穴掘トルクは増大している。また各種刃形別穴掘トルクの大きさを比較すると、フォーク形(直径 200 mm)が最も大きく、シングル・スパイラル形(直径 150 mm)

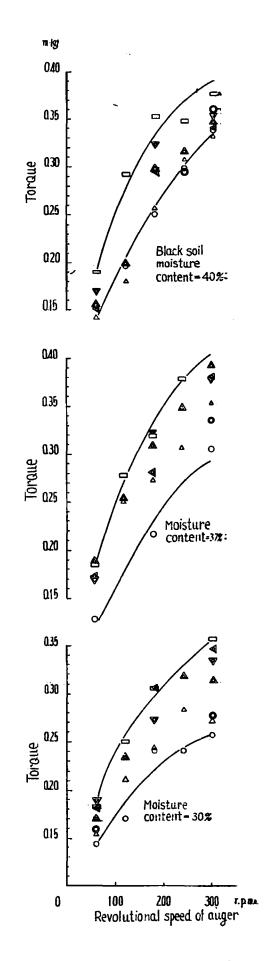


Fig. 12 植穴掘刃回転 数のおよぼす影響 (黒土の場合)

Torque of earth drill influenced by the revolutional speed of auger (Black soil).

が最も小さく、 プロペラ形(直径250 mm, 200 mm)はいずれもこの間の値をしめしている。 なお、 プロペラ形(直径250 mm)の刃角 α 、 β を 10°、20°、30° にかえたものの差は、この実験でははつきりあらわれなかつたが、しいていえば、 α 、 β =20° 程度の刃角をもつたものが 穴掘トルクが 少なくてすむようである。

4.6.2 赤土の場合

赤土(含水率42%)について、Fig. 13 のような深さ別土壌硬度のものについて、回転数別(60, 180, 300 rpm)の上述同様の実験をおこなつた結果は Fig. 14 のとおりである。赤土については、含水率をかえた実験はできなかつたが、ほぼ黒土の場合とおなじ傾向をしめしているといつてよかろう。

4.6.3 砂の場合

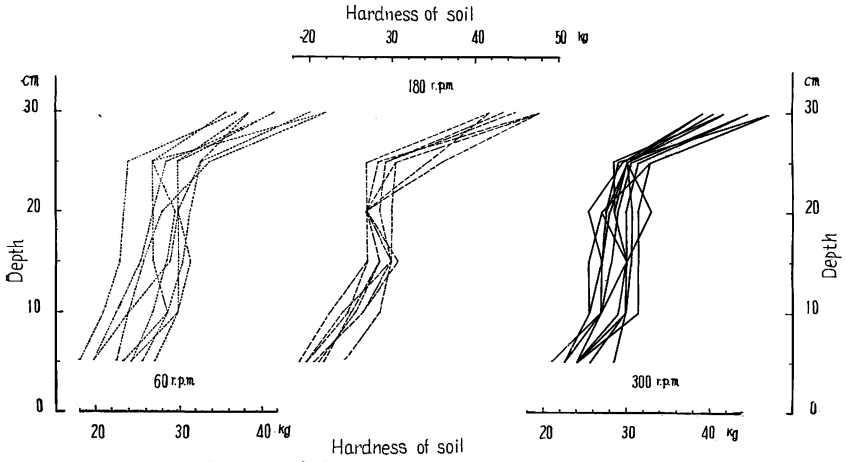
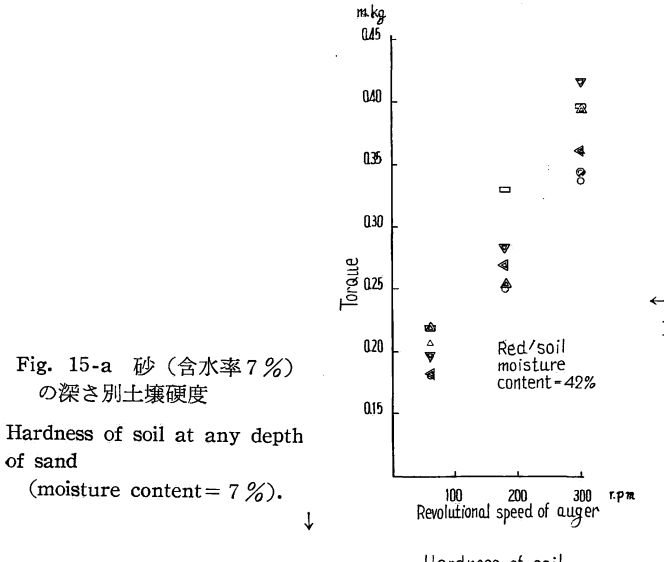


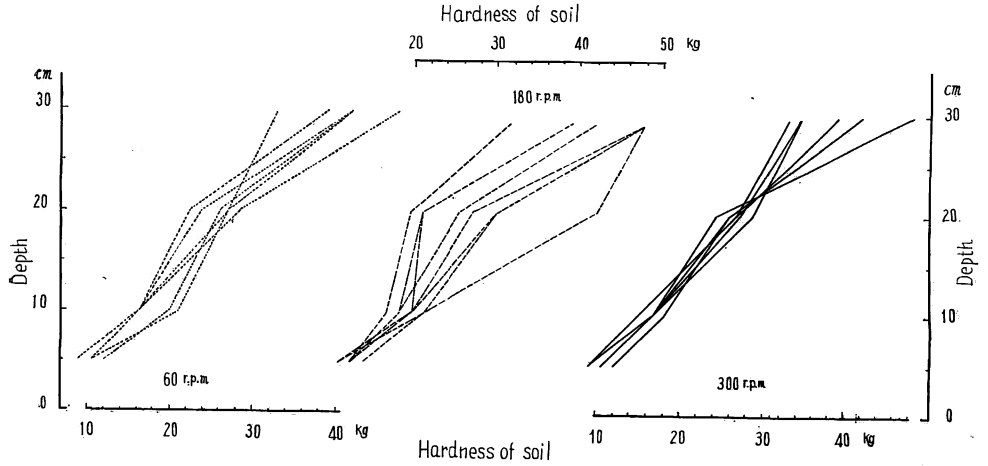
Fig. 13 赤土 (含水率 42%) の深さ別土壌硬度 Hardness of soil at any depth of red soil (moisture content=42%).

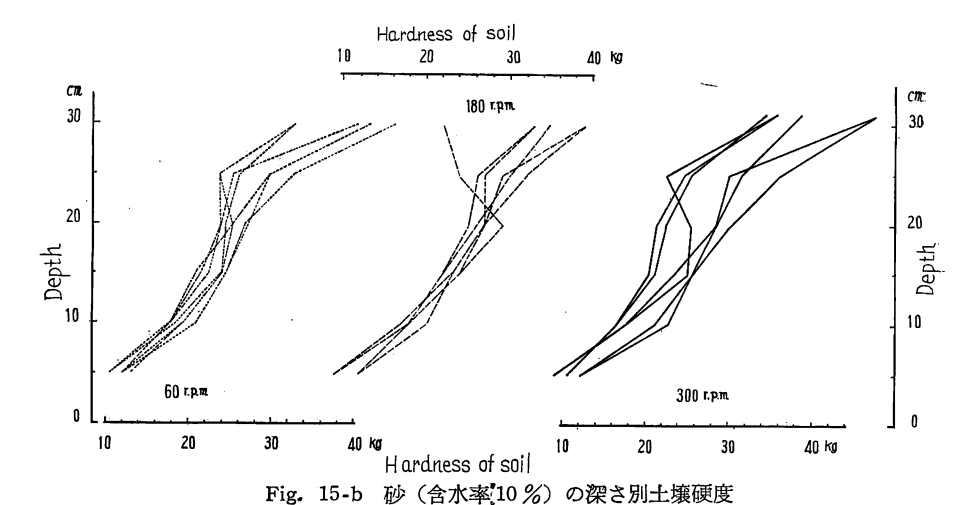


of sand

Fig. 14 植穴掘刃回転数のおよ ぼす影響 (赤土の場合)

Torque of earth drill influenced by the revolutional speed of auger (Red soil).





Hardness of soil at any depth of sand (moisture content=10%).

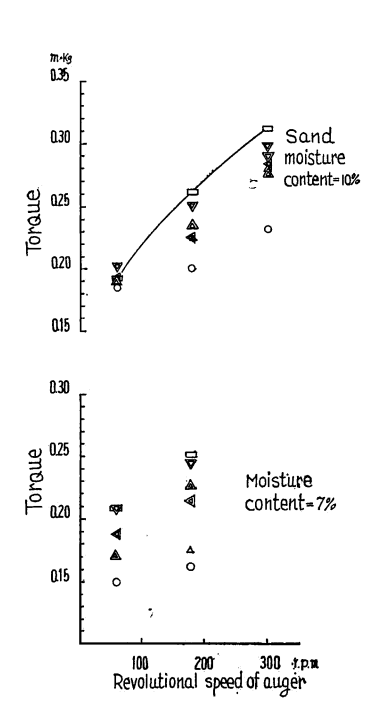


Fig. 16 植穴掘刃回転数のおよぼす影響(砂の場合) Torque of earth drill influenced by the revolutional speed of auger (Sand).

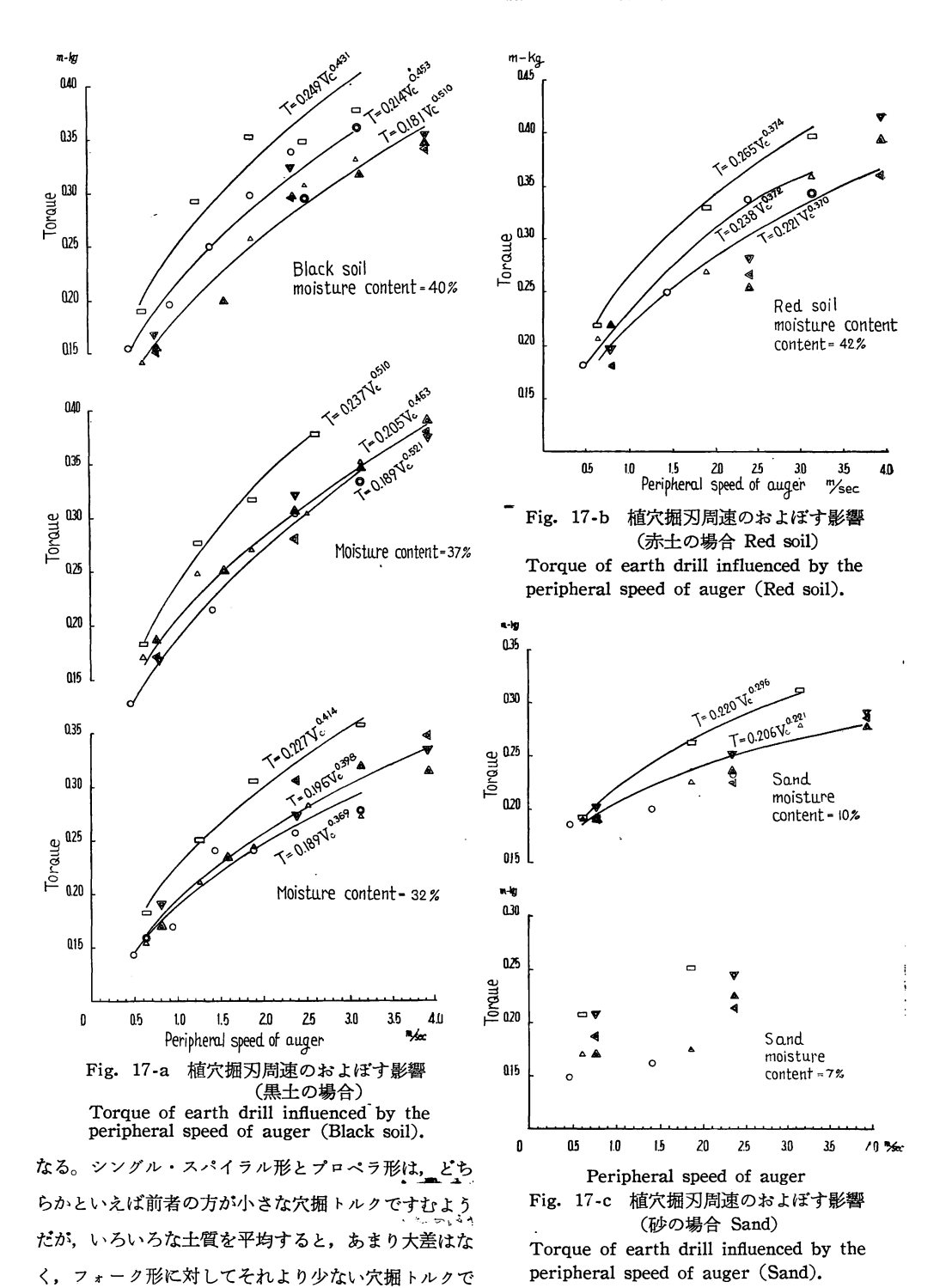
砂(含水率7,10%)について、Fig. 15 のような深さ別土 壌硬度のものについて、上述2者と同様の実験をおこなつた結 果はFig. 16 のとおりで、前2者の土のようには、回転数の増 加につれ穴掘トルクが増大する増加率は大きくはないが、どち らかといえば直線にちかい傾きで、穴掘トルクがふえ、刃形別の穴掘トルクの差は前2者の場合とほぼ同様な傾向にある。

以上の黒土、赤土、砂の各土質における回転数別穴掘トルク 試験から、いずれの場合も、各刃形別に、しかも直径の大小に 応じて穴掘トルクに差があるわけである。したがつて、これらの結果をさらに一般化しようとすれば、植穴掘刃の穴掘トルクは、刃形別に刃の周速の影響をうけているはずである。よつて 上述の実験結果を周速との関係であらわせばつぎの ように なる。

4.7 植穴掘刃周速と穴掘トルク

この関係を土質別に図示すれば、Fig. 17-a, b, c のようになり、 刃形別に次式および Table 3 の ような放物線的な関係: 式で表示されるようだ。

上述の結果から、同一直径のものを比較した場合、刃形別にはフォーク形が他の2つの形よりは大きな: 穴掘トルクを必要とし、それも回転数がふえる、すなわち周速がはやくなるにつれ、いくぶん差が大きく



すむものとして、これらの両形で1つのグループをつくつているともいえるようだ。フォーク形が他の2者よりとくに大きな穴掘トルクを必要とするのは、この形の構造がプロペラ形の水平2枚刃の両端に、さら

Table 3.	(5)式	の	実	例
Values of	constant	at form	ula	(5).

	含 水 率 Moisture content	シングル・スパイラル形 Single spiral type	プロペラ形 Propeller type	フ ォ ー ク 形 Fork type		
黒 土	32 %	$T' = 0.189 \text{ Vc}^{0.369}$	$T' = 0.196 \text{ Vc}^{0.398}$	$T' = 0.227 \text{ Vc}^{0.414}$		
Black soil	37 %	$T' = 0.189 \text{ Vc}^{0.521}$	$T' = 0.205 \text{ Vc}^{0.468}$	$T' = 0.237 \text{ Vc}^{0.510}$		
	40 %	$T' = 0.214 \text{ Vc}^{0.453}$	$T' = 0.181 \text{ Vc}^{0.510}$	$T' = 0.249 \text{ Vc}^{0.481}$		
赤 土 Red soil	42 %	$T' = 0.238 \text{ Vc}^{0.872}$	$T' = 0.221 \text{ Vc}^{0.370}$	$T' = 0.265 \text{ Vc}^{0.374}$		
砂 Sand	10 %		$T' = 0.206 \text{ Vc}^{0.221}$	$T' = 0.220 \text{ Vc}^{0.296}$		

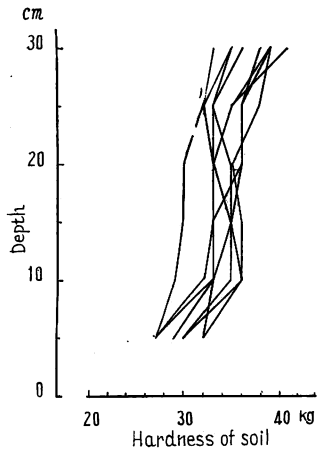


Fig. 18 深さ別土壌硬度 (黒土40%, ソイルサンプラ試験) Hardness of soil at any depth.

に2枚の垂直根切刃をつけているから、この垂直刃の分だけはつき りとトルクがふえていると考えてさしつかえないものと思われる。

4.8 土壌採取刃の回転数および周速と穴掘トルク

植穴掘機を設計しようとする場合、ただ単に植穴掘りのみにつかえるだけでなく、その刃先をとりかえることにより、前述の海外機種のように杭穴掘りとか土木工事の土質調査の土壌採取などにもつかえるように考えておくことは、メーカの立場にたてば、植穴掘機本体の利用価値をたかめることにもなり、ひいては植穴掘機本体の製造価格を低くすることに役だつことにもなろう。ところで、杭穴掘りは、前述の植穴堀刃のうちで、スパイラル形の杭穴堀り深さに応じたピッチの長いものをとりつけられるようにすれば、それで十分つかえることになるはずだから、前述のシングル・スパイラル刃形の実験結果を利用することができよう。しかし土壌採取刃は、前掲

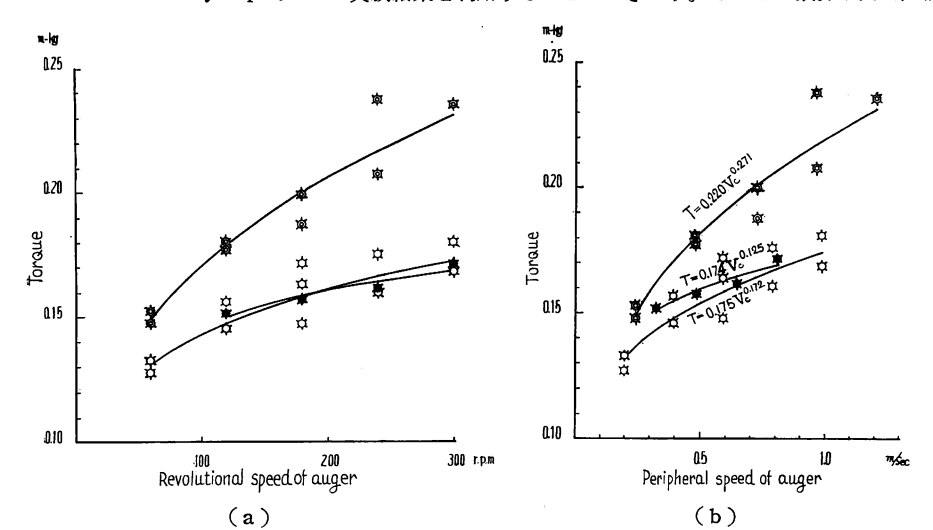


Fig. 19 ソイルサンプラ用刃形の回転数および周速と穴掘トルク Torque of earth drill with coil & small single spiral type auger influenced by the revolutional speed and peripheral speed of them.

0.4

300 R.P.M.

コイル形B Coil type (B) 水 率 スモール・スパイラル形 イル形A Moisture content Small spiral type Coil type (A) 黒 土 Black soil 40 % $T'vc = 0.174 Vc^{0.125}$ $T'v_c = 0.175 Vc^{0.172}$ $T'vc = 0.220 Vc^{0.271}$ Fork type Propeller type Single spiral type

Table 4.

Fig. 20 刃形別, 穴掘トルクおよび馬力の記録例

180 R.P.M.

. Examples of recording Torques and Horsepowers of earth drill with various type augers.

の Fig. 5-e. f でわかるように、またすこしちがつた構造の刃形をしているのが普通である。

よつて、植穴掘刃実験の参考として、これらの土壌採取刃について、黒土含水率 40%の土壌硬度 Fig. 18 のような被試験土壌で、 前項と同様の実験をおこない、 回転数および周速と穴掘トルクの関係をしらべたところ、Fig. 19-a, b のような結果をえた。

このうち刃形別の周速と穴掘トルクの関係を数式化してみると、いずれも植穴掘刃の場合とおなじように(5)式であらわされる放物線的な関係にあり、形別に Table 4 のような常数で表示される。

5. 1人用植穴掘機の試作

5.1 エンジンの選択

0.2

60 RPM

1人用植穴掘機を試作する場合、まず最初にエンジンをどれにするか選択しなければならない。林業用可搬式機械として、わが国山岳林でつかわれている機種の現況から考えると、どのエンジンよりも軽量で高出力な動力鋸用エンジンなら、性能の点ではもつとも適しており、ついで刈払機用エンジンが出力の点で前者よりは劣つてはくるが、おなじ造林作業につかうものだから、できればつかえるようにしたいと考えるのが自然である。すなわち、動力鋸用エンジンは、単気筒2サイクル空冷小形エンジンのなかでは、単位出力あたりの重量はもつとも少ないものといつてよく、さらにダイヤフラム式気化器をそなえ、横転倒立時の使用を可能にもしていることなどからは、1人用植穴掘機用としても好ましいといえる。しかし高級エンジンであるだけに、価格はどのエンジンよりも割高になることが、将来普及をはかる観点から考えると、大きな欠点となつてくる。この点、刈払機用のエンジンは、その出力が植穴掘り作業に間に含うものであれば、価格は前者の約1/3 程度ですむことから、普及上は大変好ましいということができよう。

以上のような考え方から、前述の各種の実物実験の結果から、どうしても最低の性能として必要になると考えられる最高出力 2.5 PS、最大トルク 0.35 m·kg 以上のもので、エンジン単体重量少なくとも

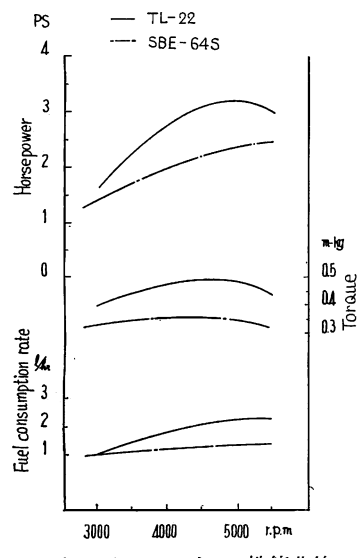


Fig. 21 エンジンの性能曲線 Performance of engine for earth drill.

7kg 以下という条件にはいる国産エンジンのなかから、 Fig-21 のような性能曲線をもつ、TL-22 形動力銀用エンジン(実験につかつた手持品)および SBE 64 S 形刈払機用エンジンをえらび、試作をすすめることにした。

5.2 植穴掘刃の形式の選択設計

造林地で植穴掘りする場合、よほどていねいに地拵えした直後の場所は別として、普通は、地表にある程度の雑草や蔓草類がのこつているものと予想しなければならないだろう。したがつて、こういう場所でシングルスパイラル、プロペラ、フォークの形式の植穴掘刃をつかつて、実際の植穴掘りテストをしてみたところ、プロペラ、フォークの両形は、どちらも軸に対してシムメトリカルに1対の刃をもつているため、雑草や蔓草の葉茎部が刃の尖端のコーンのところで、1対の刃に、たすき掛け状にからみつき、土中への刃の貫入を困難にしがちなことがわかつた(フォーク形のうち、西ドイツにみられる1対の刃の両先端がたがいに内側へ曲がつていながら、その両尖端は数

十mm はなれているもの――われわれの試験刃形のように刃軸をもたないもの――では、この欠点は少ないかもしれない)。この両形にくらべると、シングル・スパイラル形は、いわゆる単一らせんのため、雑草や蔓草の葉茎部がコーンのところからまきついてきても、そのまま植穴掘刃軸上方に逃がされるから、ほかの2形のように、草の茎や根が刃にからみついてしまつて、土中への刃の貫入を因難にすることが少なかつた。

よつて、このような各刃形の使用性能と、前述の実物実験による各種トルク測定結果を考えあわせ、どの土壌でも比較的穴掘トルクが少なくてすむと思われるシングル・スパイラル形を、植穴掘刃として選択採用することにした。

また、造林技術面からのかなり強い要望として、普通の林地の地表にある腐植土は、天然に落葉が堆積腐植してできた肥料分をもつた土だから、植穴掘り地点から、できれば飛散させないことが望ましいとされている。この解決策としては、後述の、引抜き時の植穴掘刃逆転機構を採用することにより、刃の逆回転を利用して労せずに、また腐植土をすつかり排出してしまわずに、刃の引抜きをおこなわせることができるようにすると同時に、これに見合つたシングル・スパイラル刃形の設計をすることによつて、解決することができた(プロペラ形の刃をつけたものでも、上述と同じ理由で、逆転機構があるとつかいやすくなる)。

すなわち、この植穴掘刃の直径は、後述のように $150\sim200\,mm$ の範囲を標準にしたが、らせん面の素線の軸心とのなす角 α は $10\sim20^\circ$ 程度とし、右らせんの形でらせん面をつくり、ピッチは石礫の大きさを考慮にいれて $80\sim90\,mm$ とし、ピッチ数はできるだけ少なく約 $1.5\,$ ピッチにとどめ、さらにらせん面の上下端末はとくに直線をさけて、下端は貫入時、上端は引抜き時の土中における抵抗その他根などへのひつかかりを少なくするため、軸心かららせん面外間にひろがる同心円周速の2 乗に比例した放物線形 ± 10 の端末をもたせることとし、外周全面の下縁にエッジをつけ、根切り効果をよくするように設計した。

5.3 植穴掘刃回転数と直径の選択設計

腐植土を飛散させないようにすることに関係する因子として、当然のことながら植穴掘刃の周速の問題がある。これは植穴掘刃の直径と回転数の問題に帰着するが、腐植土を飛散させないようにすることおよび穴掘トルクもまた少なくてすませるということからいえば、前述の実験結果からもわかるように、刃の周速は小さい方がよい。

しかし実際に、回転式植穴掘刃で植穴掘りする場合、刃の土、石礫および根に対する作用を考えると、 土や石礫に対しては回転数が少ないすなわち周速の小さいほど、刃は土中に貫入しやすいが、土を破砕し て石礫などと一緒にかきまぜること、さらに根をも切断するというためには、逆に回転数が多いすなわち 周速の大きい方が望ましいと考えられる。

また1人用植穴掘機を考えた場合,前項のように採用できるエンジンの能力は限定されてき,それに見合つた機種は,一般機械工業界の現状ではいわゆる軽量高出力の単気筒空冷2サイクル小形がソリンエンジンといわれる部類のものとなる。したがつて,エンジン常用回転数5,000~5,500rpm 程度のものを,後述するような減速機構をつかつて,前述実物実験につかつた植穴掘刃回転数60~300rpm の範囲内におとして,植穴掘刃を回転させなければならない。すなわち減速比は1/20前後から1/90の範囲内で選択して植穴掘刃の回転数をきめなければならない。ここで,エンジン・トルクは,5.1 項で選択した機種では,最大0.35あるいは0.5 m·kg 程度しかなくても,植穴掘軸自体にはたらく最大トルクは,機械効率おおよそ70%と低くみても,約5~80 m·kg 範囲となり,減速比の大きい場合は,きわめて大きなトルクを,1人用機のハンドルを通して作業者の両手にはたらく偶力で達20,ささえなければならない。つまり1人把持という目的からいえば,減速比は使用可能な範囲でできるだけ小さくすればよい,いいかえると植穴掘刃回転数をできるだけ大きくすればよいことになり,それによつて,植穴掘刃が土中で硬いものにひつかかつて,その反力で,作業者の両手が植穴掘機自体をささえきれなくなるという危険は少なくなるわけである。

なお、われわれが実際に、石礫や根のいりまじつた状態の条件のわるい現場で試用した経験では、1人 把持に都合よさそうな植穴掘軸の最大トルクは、せいぜい $15\,m\cdot kg$ あまりにとどめた方がよさそうに思われた。

よつて、海外の穴掘機では、穴掘刃回転数 5,60 rpm 程度を採用しているのに対して、われわれの植穴掘機では、後述の DR III形(TL-22形 エンジン、最大トルク $0.5\,m\cdot kg$)およびDR IV形(SBE—64S 形エンジン、最大トルク $0.35\,m\cdot kg$)のいずれも、植穴掘刃回転数 $200\sim300\,\mathrm{rpm}$ の範囲におさまる程度に減速比を選択し、刃の周速は約 $3.0\,m/\mathrm{sec}$ 程度にとどまるように、刃の直径はすこし小さめになるが、大きな植穴を掘るときは穴掘回数をふやすことにして、 $180\sim250\,mm$ 程度を採用することにした。

このように、植穴掘刃回転数を海外機種よりかなり高目に採用したことは、後述の動力伝達方式の設計上、その減速比を少なくすることができ、この植穴掘機の特徴の一つである逆転機構を、減速機構に加えて、1人用機にふさわしくいわゆるコンパクトに設計するのに役だつことになるわけである。

5.4 動力伝達方式の選択設計

林業機械は、一般に作業対象となるものに均質性をひどく欠く場合が多いから、エンジンに過負荷を生じがちな傾向が多い。植穴掘機も作業対象となる土壌条件は千差万別といつてよく、エンジンに過負荷を生じがちであることは一般の例にもれない。作用軸に過負荷を生じると、作用軸の回転は急速に低下し、

高速に回転しているエンジン・シャフトをムリにも停止させようとする負の回転力がはたらいて,エンジンを破損してしまうことになる。この解決策として,ごく普通につかわれる機構であるいわゆる遠心クラッチは3)を,われわれの植穴掘機のエンジン・シャフトの出力側にまずとりつけ,その先に減速および逆転歯車を装備するようにした。

減速機構の設計にあたつては、作業対象となる土壌条件が硬軟いろいろと変化する植穴掘機として、最も好ましいことは、前述の実験結果から容易に類推されるように、いわゆる可変速の機能をもたせることである。すなわち、たとえば土壌の軟らかいところでつかうときは植穴掘刃の回転数を大きくし、土壌の硬いところでつかうときは刃の回転数を小さくしてつかえるようにすれば(つまり、同一エンジン・トルクからつたわる植穴掘軸トルクを、土壌の軟らかいときは小さくし、硬いときは大きくしてつたえることにすれば)、最も合理的な機能をもつた植穴掘機にすることができるわけである。したがつて、われわれとしては、1人用植穴掘機に装着できるような、軽量小形のいわゆる無段変速機構を創案すべく、調査検討をくわえたが、わが国のこの方面の機械加工技術の水準では、いろいろの点でむずかしいことがわかり、不本意ながら断念せざるをえなかつた。またこの無段変速にかわつて、2~3段のごく普通の方式である平歯車選択摺動方式の変速機構を考えることができるが、1人用機としては、その重量をできるだけ軽く、すなわちいくら重くても15kg以下にしなければならないという条件を考えると、われわれの1人用植穴掘機の特色の一つである逆転機構のほかに、変速歯車少なくとも数枚をふやさなければならなくなり、それだけ重量もふえることになるので、今回は、軽量化1人用機という目標のために、変速機構の装着は断念して、実用機の設計をすすめざるをえなかつた。

減速比は、前項のような植穴捆刃回転数の選択から、DR III形で正転1:25.6、逆転1:18 \pm 4)、DR III形で正逆転とも1:27.6 \pm 5)(ウォームの口数を一重にすることにより1:55 にすることも可能*)となり、かなり大きな減速比となるので、主減速歯車にはウォーム&ウォーム歯車を採用して大部分の減速をおこなわせ、残余の減速は逆転機構の併置のために組み合わせる歯車にも分担させることにして、主減速歯車および正逆転歯車の組合わせを、できるだけコンパクトな形におさめることに工夫をこらした。なお、これら歯車機構をとおして動力伝達される植穴捆刃軸は、1人用植穴掘機の自重約 3/4 をしめることになるエンジンおよび減速兼正逆転歯車部すなわち植穴掘機本体の重量を、その軸心線上にうけることが必要になる。すなわち、植穴掘機全体としての重心の安定をはかることが必要で、それによつて1人把持のしやすさ、あるいは植穴掘刃貫入に本体重量を活用することなども可能になつてくる。したがつてこの減速兼正逆転の動力伝達機構の設計にあたつては、これらの点にとくに留意して、エンジンからの動力、取出軸および植穴掘刃軸相互の位置を決定し、その間に、各種歯車の組合わせが、できるだけエンジン部と一体化するようなギャケースにおさまるように、工夫をこらしたわけである。

もつともここで,1人用植穴掘機のエンジン把持方式として,エンジン部のみを背負架に搭載して,作業者の背中に背負えるようにし,遠心クラッチから1m前後のフレキシブルシャフトで動力を取り出し,その先に,減速兼正逆転部および植穴掘刃軸,植穴掘をハンドルで把持できるようにとりつける形式(いわゆる背負式**1人用植掘機)が考えられる。この場合,どちらかといえば耐用性に疑問のもたれる

^{*} ウォームの歯切加工を考えると、口数一重の方が製作上安上がりになる。また、減速比の小さい方だけをつかうことにふみきれば、歯車およびギヤケースが小さくなり、植穴掘機の重量軽減をはかることもできる。したがつて、この見地からの改良形をその後試作し、より軽量化することができた。

フレキシブルシャフトをつかわざるをえなくなることから、われわれの設計としては、上述のような、エンジンおよび動力伝達部を一体化した手持可搬形式の1人用植穴掘機とする前提で、設計をすすめたわけである。

DRⅢ 形植穴掘機では,正逆転機構に平歯車選択摺動式を採用し,クラッチの切り替えは,正之中立之逆と,ロッドの押し込みあるいは引き抜きで,シフタを操作できるようにしたが,主減速歯車を含めた歯車配列は Fig. 22 のとおりである。

DRIV 形植穴掘機では、正逆転機構にかさ歯車の常時かみ合いによるクラッチ切替方式を採用したが、

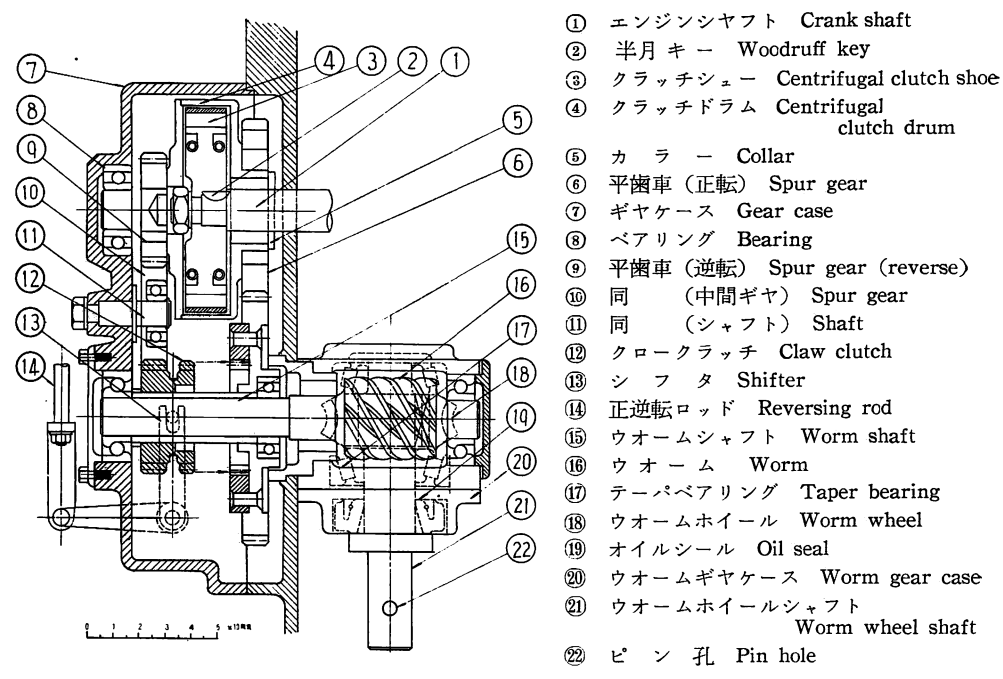


Fig. 22 DR III 形用正逆転機構 Transmission for DR III type.

^{**} 手持可搬形林業機械のエンジン部を背負式とし、作動部とフレキンブルシャフトでむすぶという考えは、現在ひろく普及している故藤林誠東大教授(元林業試験場技師)の考案になる藤林式ブッシュクリーナの試作過程においても採用されたことがある。しかし当時の国産フレキシブルシャフトは、性能上おもわしくない点が多くて実用に適せず、現在の肩掛式(フレキシブルシャフトをつかわずに長い中空丸軸でエンジンと丸鋸軸をむすぶ動力伝達形式を採用したもので、海外機も、ほぼ同時にこの形式を採用したものが多い。)の創案で、ようやく実用化に成功することができたいきさつがある。もつとも昨年から国内で、草や小径灌木の刈り払いを目的とした刈払機に、国産フレキシブルシャフトをつかつた背負式実用機が、かなり普及してつかわれるようになつてきているが、この背負式エンジンを利用して、おなじくフレキシブルシャフトで穴掘刃を回転させる背負式国産穴掘機も、最近試作品ができ上り、メーカから筆者に性能判定を依頼してきたりしてきている。この形式は前述のように、海外にも1機種みられるもので、耐用性があつて軽量でしかも撓み性の大きいフレキシブルシャフトをつかうことができれば、技術的には実用化に成功するのも容易なこととおもわれる。

クラッチの切り替えは、スプリングとワイヤでシフタに連動するレバーのにぎり具合で、正之中立之逆 と操作できるようにしたが、主滅速歯車も含めた歯車配列は Fig. 23 のとおりである。

なお、これら動力伝達系統の要素をなす個々の歯車および軸 注6)の設計にあたつては、上述の方針から 当然のことながら、その重量軽減に苦心しなければならなかつたが、これは強度計算のゆるすかぎり、惋 幅および肉厚の軽減,さらには部分的に中空丸軸を採用することなどにつとめるとともに,実地使用による

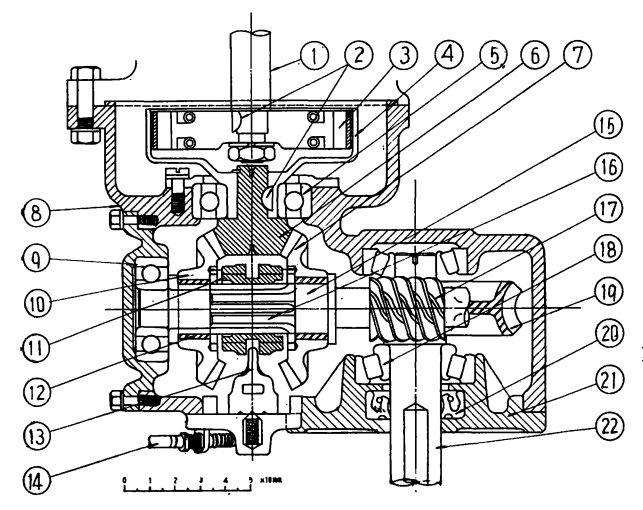


Fig. 23 DR IV形用正逆転機構 Transmission for DR IV type.

- ① エンジンシャフト Crank shaft
- ③ クラッチシュー Centrifugal clutch shoe ④ クラッチドラム Centrifugal clutch drum
- ⑤ ベアリング Bearing
- ⑦ かさ歯車 (正転) Bevel gear
- ⑨ ベアリング Bearing
- ① クロークラッチ Claw clutch
- ① シ フ タ Shifter
- ⓑ ウォームシャフト Worm shaft
- (i) ウォーム Worm
- ⑨ ウォームホイール Worm wheel② ベアリングカバー Bearing cover

- ② 半月キー Woodruff key
- ⑥ かさ歯車 Bevel gear
- ⑧ ギヤケース Gear case
- ⑩ かさ歯車 (逆転) Bevel gear (reverse)
- ① ブッシュ Bush
- (4) 正逆転ワイヤ Reversing wire
- (f) スプライン Spline
- 18 テーパベアリング Taper bearing
- ② オイルシール Oil seal
- ② ウォームホイールシャフト Worm wheel shaft

動力伝達方式

DR III 形



	平	歯	車		
	(1)	(2)	(3) (4) (5)	ウォーム	ウォムー歯車
密 Z DP mm 数径 DP mm を	33 66 2 20° 9	47 94 2 20° 9	19 42.75 2.25 20° 9	29 2.5 1 10°30′ 右	18 45 2.5 20 10°30′ 右

DR IV 形

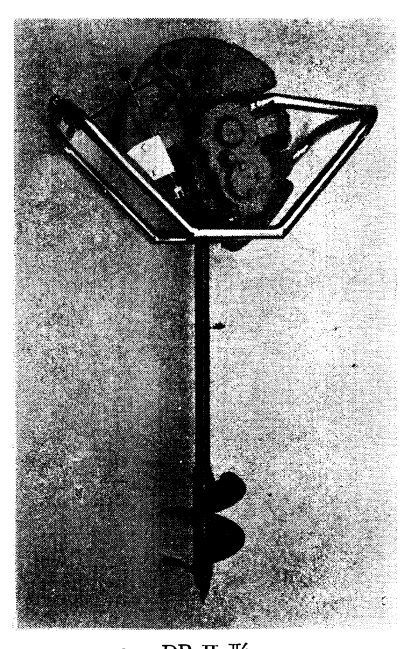


	かさ	歯 車		
	(1)	(2) (3)		ウォーム歯車
図 Z DP**** 数径 DP**** 強径 DP **** 大 D *** D *** D *** D ***	18 36 2 20° 12	31 62 2 20° 12	2.5 20° 2 12° 22′ 左	32 80 2.5 20° 22 12° 22′ 左

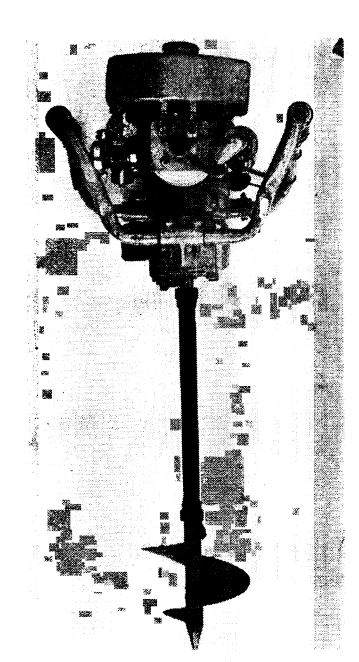
検討の上, 設計変更, 加工のやりなおしをこころみた。

5.5 ハンドル形式その他の選択設計

手持可搬形 1 人用植穴掘機の,直接のとりあつかいやすさは,ハンドルの形式にも大きく左右される。 試作当初は,TL-22 形および SBE—64S 形いずれのエンジンをつかつたものも,Photo. 9-a,b にしめ されるような,いわゆる囲み形のハンドル形式を採用してみた。しかし,土木,治山関係のさく岩機をつ かつた経験のある 技術者をまじえた実地テストの結果, 植穴掘軸に生ずる 大きなトルクを, 1 人の作業 者の両手に生ずる偶力を反力としてささえるには,左右に把手のつきでた,いわゆるさく岩機形のハンド

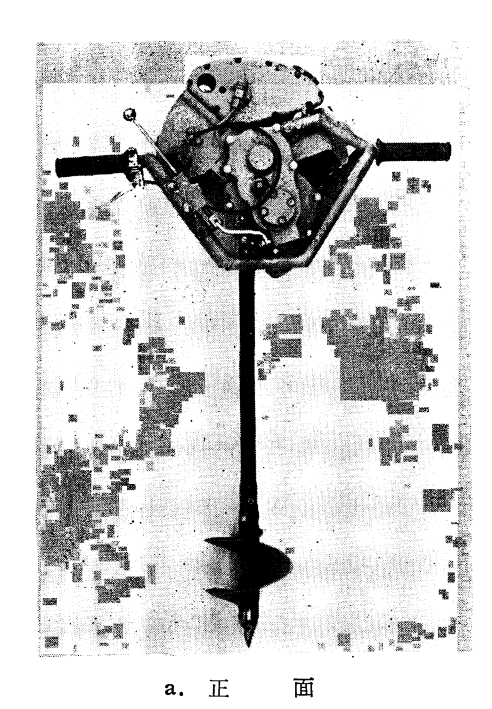


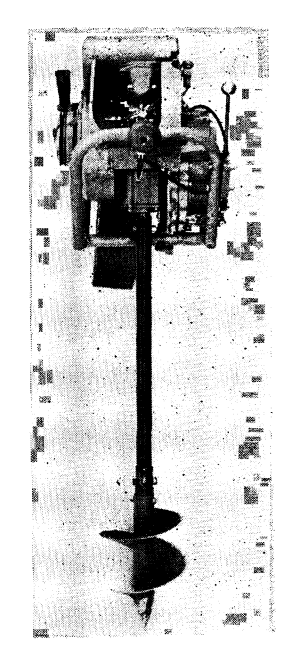




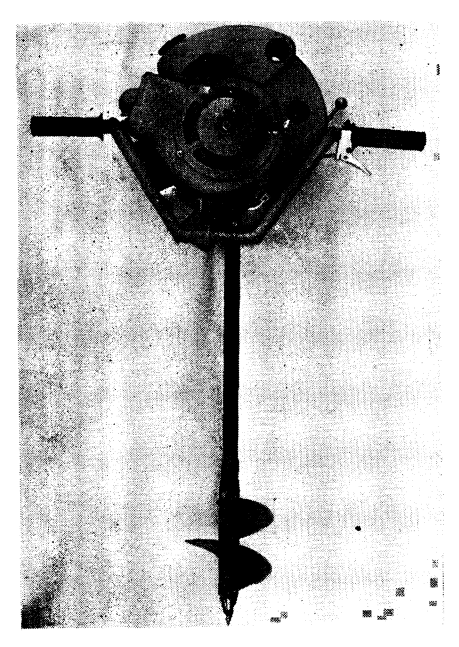
b. DR IV₀形

Photo. 9 林試式DR II, IV₀ 形植穴掘機DR II, IV₀ type earth drill for tree-planting.

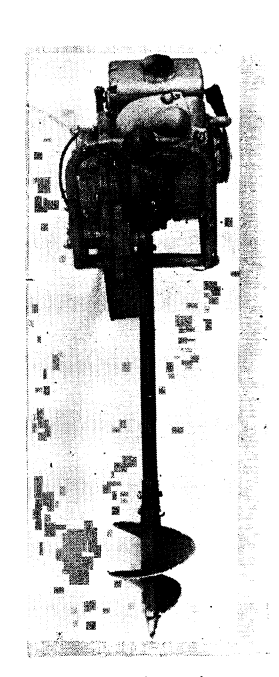




c. 右 側 面



b. 背 面



d. 左 側 面

Photc. 10 林試式DR III 形植穴掘機 DR III type earth drill for tree-planting.

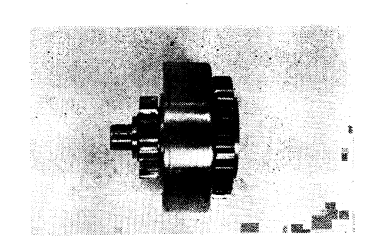


Photo. 11-a 遠心クラッチと正逆転ギヤ Centrifugal clutch and reverse gear.

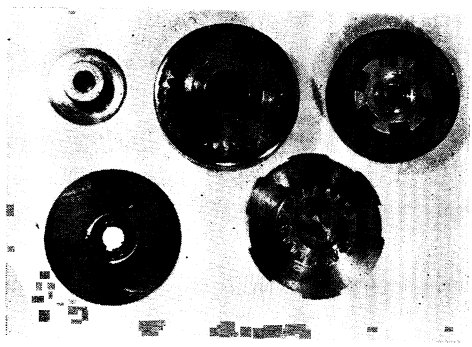
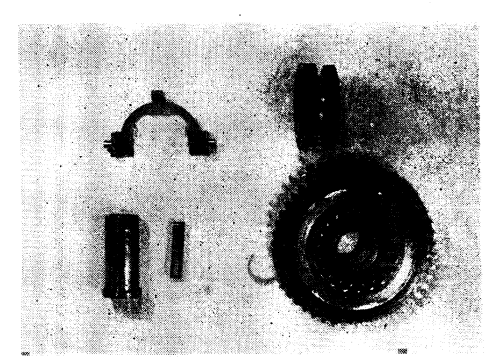


Photo. 11-b 遠心クラッチ部品 Centrifugal clutch.



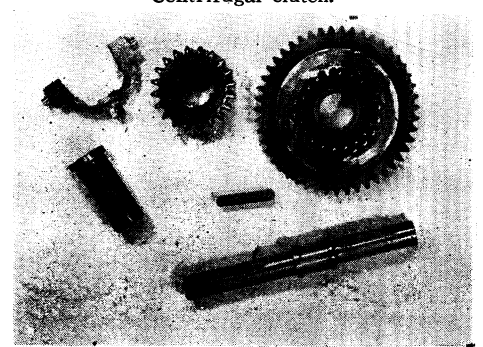
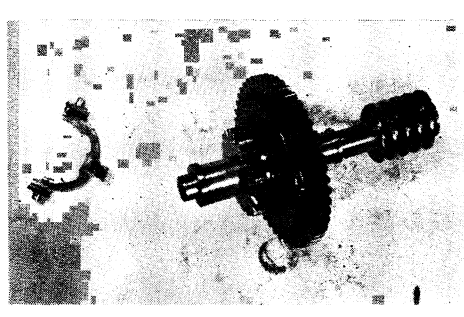
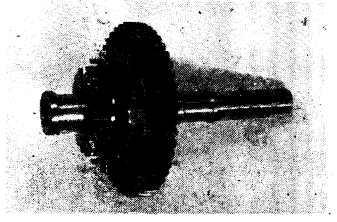


Photo. 11-c 正逆転クラッチ Clutch for reverse gear.



d-1

Photo. 11-d ウォーム, ウォームシャフト, 正逆転ギヤ, クラッチ, シフタ Worm, worm shaft, reverse gear, clutch and shifter.



d — 2



d -- :

ル形式の方が、大きな力をささえるには好ましいという結論をえた。したがつて、われわれの試作機は両形ともなんどか改良をかさねて、クランクケースあるいはギヤケースに取付部をもち、強度にたえるかぎり肉薄の鋼管を曲げあるいは熔接して、植穴掘機本体を囲み、かつ吊るし上げるかたちとした Photo. 10、12 にしめされるような、いわゆるさく岩機形のハンドル形式を設計した。 左右の把手はゴムカバーをかぶせて把持しやすいようにし、スロットルレバーあるいは正逆転レバーがとりつけられるようになつてい

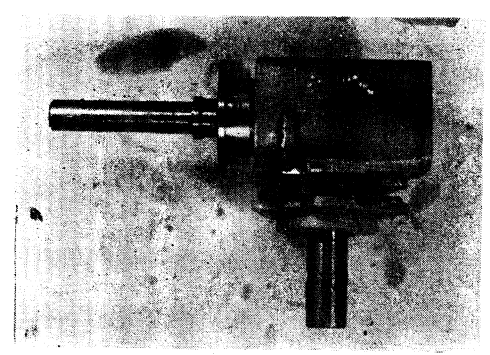


Photo. 11-e ウォームホイールケース Worm wheel case.

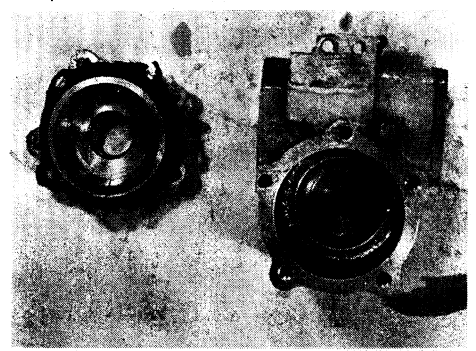


Photo. 11-g ウォームホイールケース
Worm wheel case.





Photo 11-f ウォームとウォームホイール Worm and worm wheel.

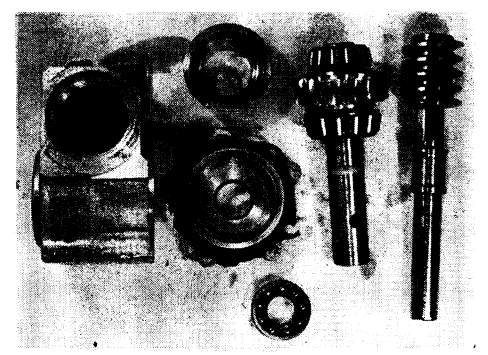


Photo. 11-h ウォーム, ウォームホイール, 同各シャフト, 同ケース Worm, worm wheel and their shafts and case.

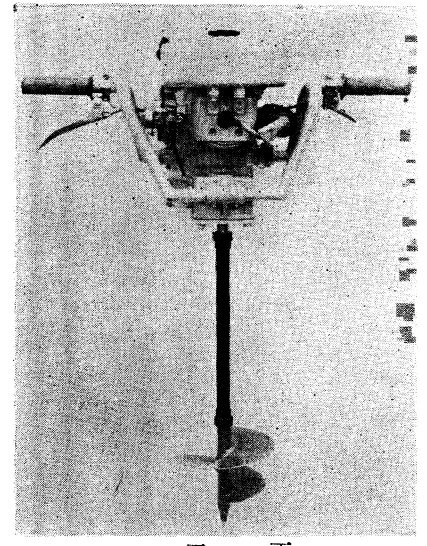
Photo. 11 減速, 逆転機構部品 (DRII 型) Parts of reduction and reverse gear (DRII type).

ることはいうまでもない。

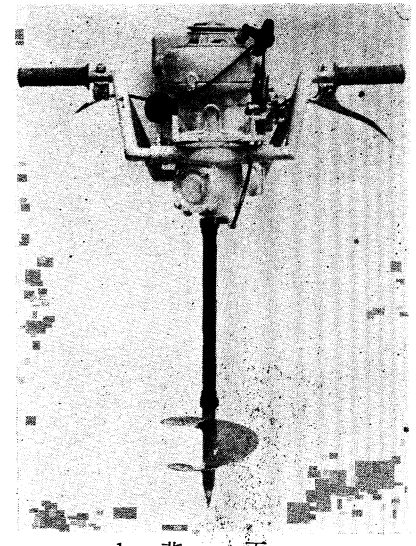
植穴掘軸は、軽量化の線からは、当然鋼管をつかわざるをえないが、この強度は、前述のようなかなり大きいトルクにたえるとともに、植穴掘り作業中ともすればおこりがちな、植穴掘刃部を支点として曲げられる、くり返し曲げモーメントおよび植穴掘刃の正逆転によつて与えられる引張りあるいは圧縮力も検討しておくことが必要である注意。もつとも使用条件を考えると、より厳密には、ねじり曲げ振動応力がはたらくことになるが、植穴掘刃軸の回転はきわめて低速だから、ここでは、植穴掘機本体の重量と操縦者の両手を通してくわわる、いわゆるこじる力によつておこる最大曲げモーメントの検討に主点をおいた。なお植穴掘軸の長さは、普通植えで要求される植穴の深さが 30 cm 程度であるため、この機械をつかつた場合には、一応 5,60 cm 程度までの深さを穴掘りできることとし、植穴掘の長さ(コーンとも約200 mm)を除いて 300~400 mm を標準に採用することとした。もちろん、必要に応じて、さらに長い軸長の植穴掘軸をとりつけることは容易なことである。

5.6 林試式 DR III 形および DR IV形 1 人用植穴掘機の性能仕様

上述してきた設計上の考えおよび手順を重点として総合し、Table 5の性能仕様、Fig. 24-a, b; 25-a, b, Photo. 10,11-a~h のような 構造形態をもつ林試式 1人用植穴掘機 DR III 形および DR IV 形を考案 試作した。DR III 形は前述のように TL-22 形エンジン、DR IV 形は SBE—64S 形エンジンをそれぞれ搭

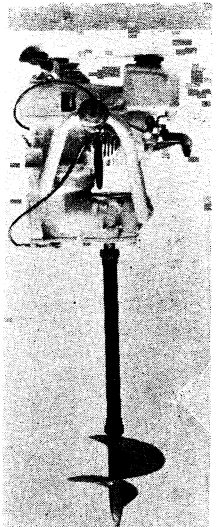


面 a. IE

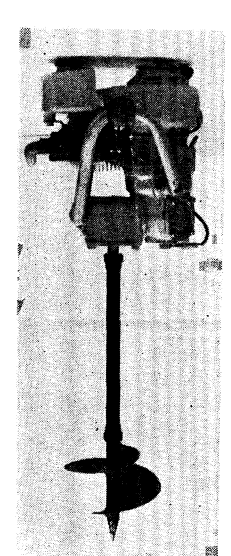




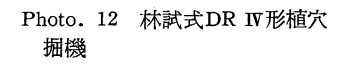
e. 上 面



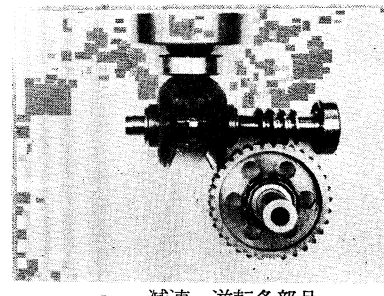
c. 右側面



d. 左側面

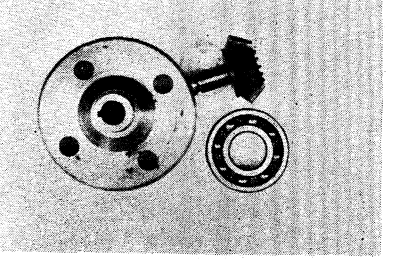


DR IV type, earth drill for tree-planting.

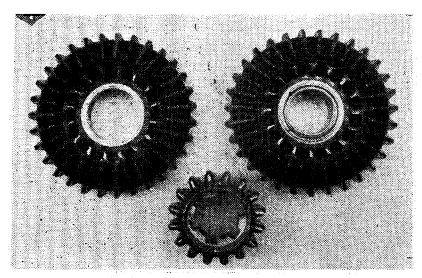


a. 減速・逆転各部品 Reduction and reverse gear.

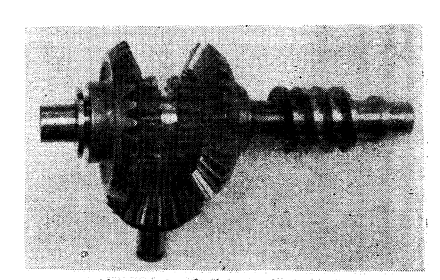
Photo. 13 減速, 逆 転機構部品 (DR IV形) Parts of reduction and reverse gear (DR IV type).



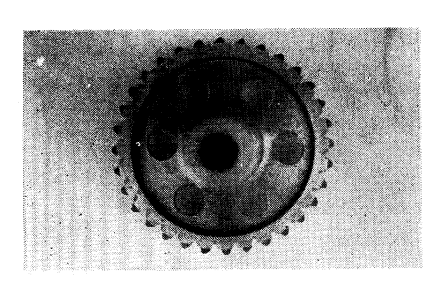
b. 遠心クラッチドラム, ピニオ ンギヤ(すぐばかさ歯車), 軸受 Centrifugal clutch drum, bevel gear and ball bearing.



c. 正逆転用すぐばかさ歯車, クラッチ Bevel gear and clutch.



d. 正逆転用すぐばかさ歯車とウォーム Bevel gear and worm.

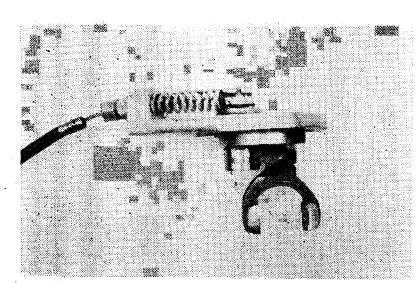


e. ウォームホイール Worm wheel.

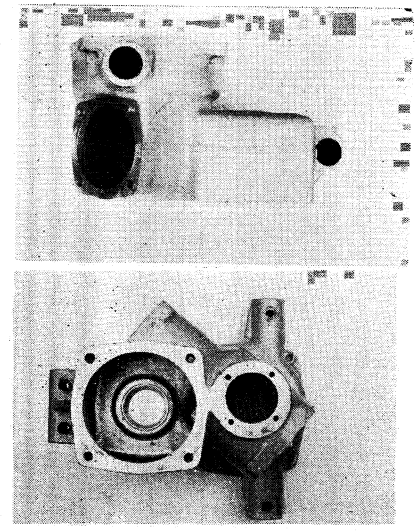
f. ウォームホイール とシャフト,軸受 Worm wheel, its shaft

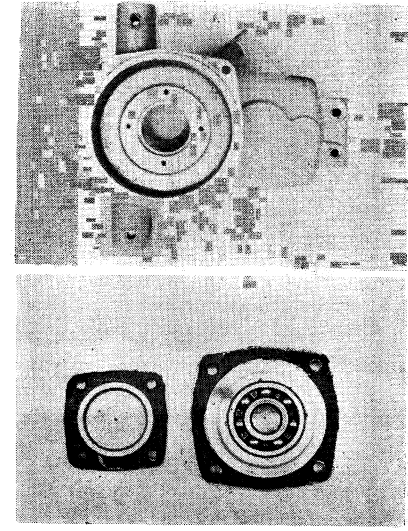
and roller bearing.





g. シ フ タ Shifter

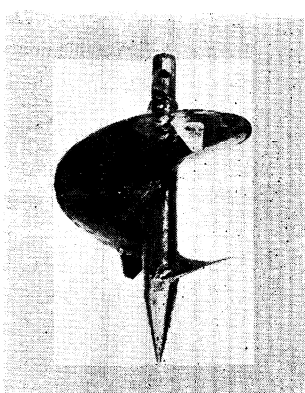




h. 減速, 逆転ギヤケース Reduction and reverse gear case.









a. 普 通 刃

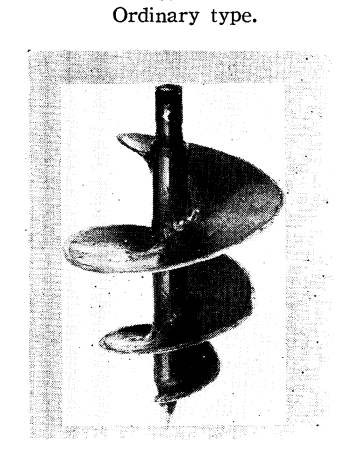


b. 根切用刃(I) Root-cutting use type(I).



c. 植穴掘刃 (II) Root-cutting use type (II).

植穴掘刃





d. 硬土用刃 Hard soil use type.

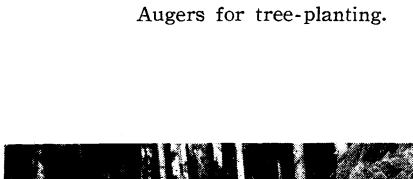


Photo. 14



Photo. 15 DR III 形機による植穴掘り 於東京都下 奥多摩古里, ヒノキ伐採跡 35° 斜面 (Mar. 24/1961) Digging of holes for tree-planting by using DR III type earth drill.

Table. 5 林試式DR III, IV形植穴掘機仕様 Specification of DR III & IV type earth drill for tree planting.

形	式 Type	DR III 形 1 人手持用 One-man portable	DR IV 形 1 人手持用 One-man portable
重	量 Weight	14 kg	14: kg
寸	法 Dimension	996×270×647 mm	892×292×656 mm
	形	大 TL-22形単気筒空冷ガソリン エンジン One cylinder, air cooling, gasoline engine	SBE-64S 形単気筒空冷ガソ リンエンジン One cylinder, air cooling, gasoline engine
	行 程 容 和 Piston displacemen	青 76.5 <i>cc</i>	50 <i>cc</i>
	最大出 Max. horsepowe	3.2 PS/4,800 rpm	2.5 PS /5,500 rpm
エンジン	最大トル Max. torque	0.49 m·kg/4,700 rpm	0.35 <i>m·kg</i> /4,500 rpm
Engine	冷 却 方 Cooling system	大 強 制 空 冷 Forced air cooling	強制空冷 Forced air cooling
	始 動 方 : Starting	自動卷 Automatic rewinding	自 動 巻 込 Automatic rewinding
	点 火 装 f Ignition	置 フライホイールマグネト Flywheel magneto	フライホイールマグネト Flywheel magneto
	調 速 装 t Governor	置 展 E 式 Wind pressure type	なし
	気 化 和 Carburetor	器 ダイヤフラム式 Diaphragm type	フロート式 Float type
	燃料タン: Fuel tank	7 1.5 l (15:1 混 合 燃 料) Mixture	0.8 <i>l</i> (15:1 混 合 燃 料) Mixture
	クラッデ Clutch	自動遠心式 Centrifugal clutch	自動遠心式 Centrifugal clutch
	主 減 速 装 Reduction	プ ウォーム&ウォームホイール (滅速比 1:18)	ウォーム&ウォームホイール (減速比 1:16.32)
動力伝達部		Worm & worm wheel (reduction ratio)	Worm & worm wheel (reduction ratio)
Transmission	正 逆 転 装 f Reverse	平 歯 車 選 択 摺 動 (正転減速比 1:1.425) 逆転 ク 1:1 Selective spar gear	かさ歯車常時かみ合い (正逆転減速比 1:1.72) Constant-mesh bevel gear (reduction ratio)
	シファ	(reduction ratio) 中,卜操作	ワイヤグリップ操作
	Shifter	Operated by rod	Operated by wire-grip た 右 っき 出し
	Handle	た 右 つ き 出 し Like a rock drill	左右つき出し Like a rcck drill
	刃 用 Shape	ジ ン グ ル ス パ イ ラ ル 直径漸増減特殊刃形 硬・軟土質別にとりかえ	シングルスパイラル 直径漸増減特殊刃形 硬・軟土質別にとりかえ
植穴掘刃 Auger	•.	Single spiral type	Single spiral type
	最大列往 Max. diameter	150 ∼ 250mm	150 ~ 250 mm
	着	打	町

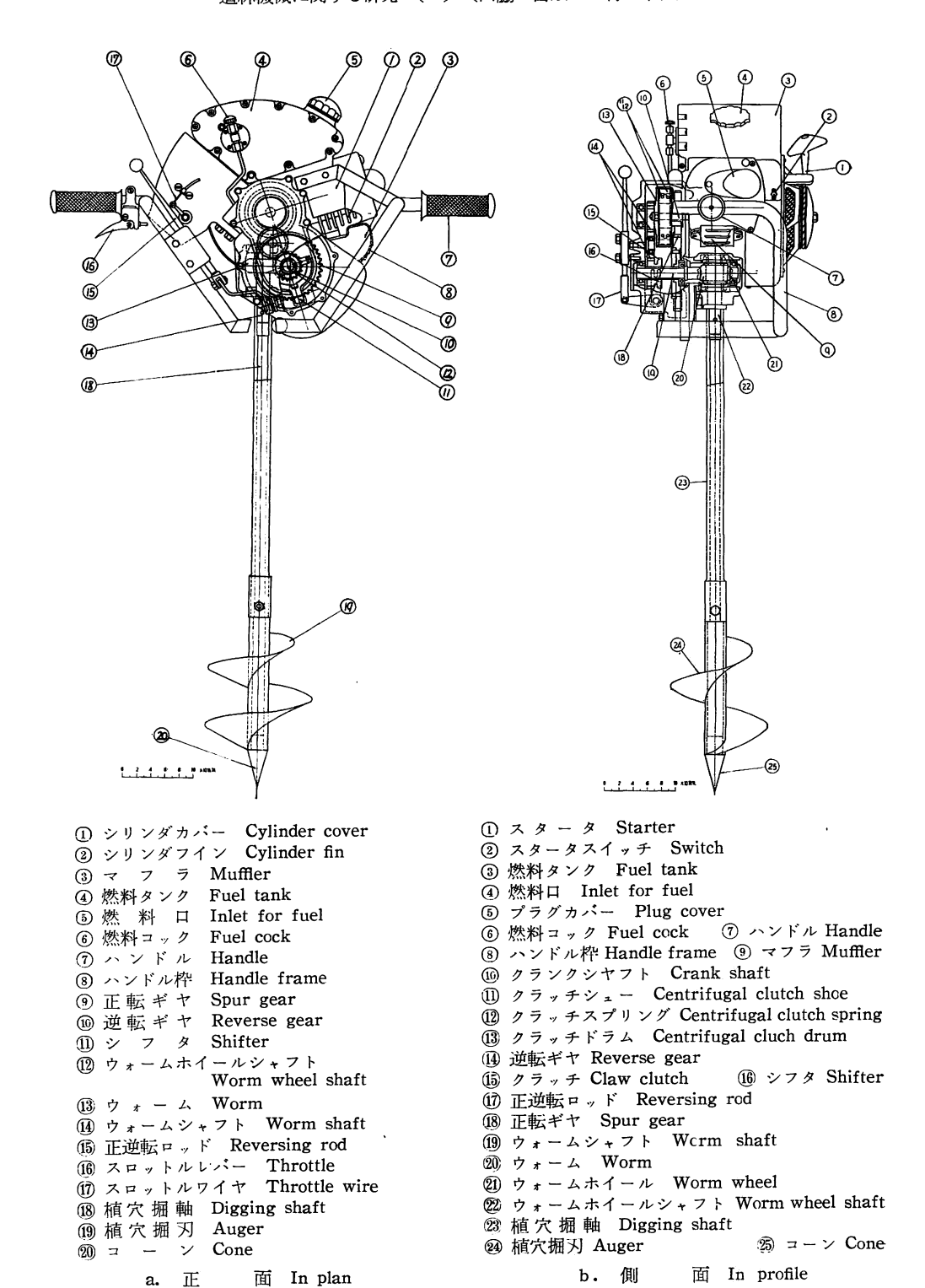
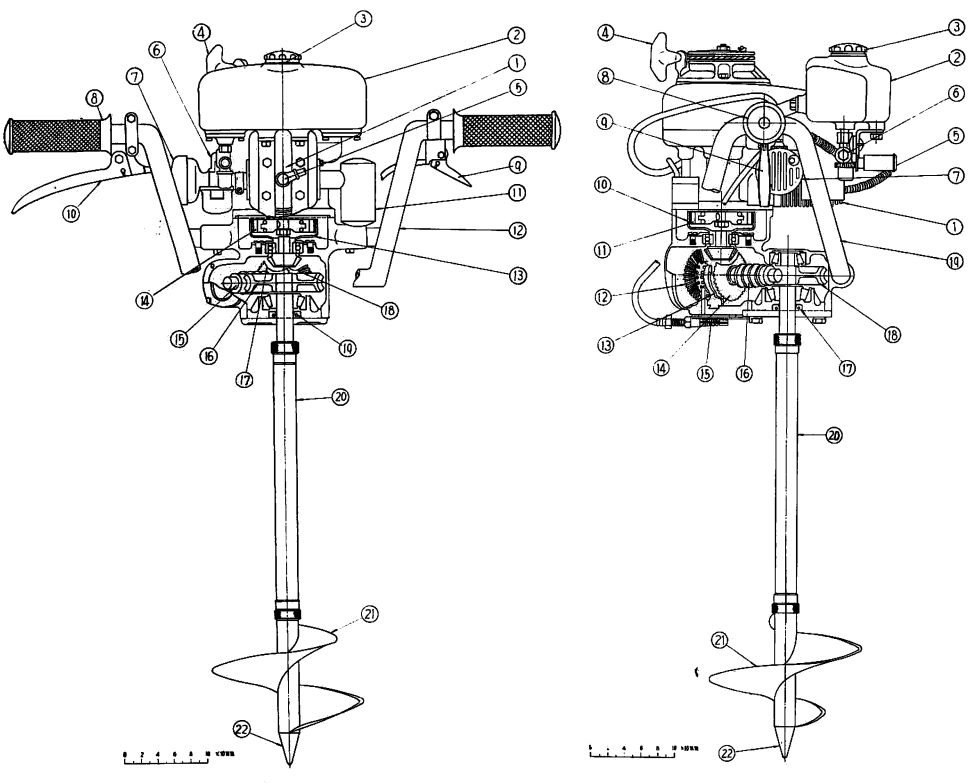


Fig. 24 DR III 形植穴掘機 DR III type earth drill for tree-planting.



- ① シリンダカバー Cylinder cover
- ② 燃料タンク Fuel tank
- ③ 燃 料 口 Inlet for fuel
- ④ スタータ Starter
- ⑤ プ ラ グ Ignition plug
- ⑥ 燃料コック Fuel cock
- ⑦ エヤクリーナ Air cleaner
- ®ハンドル Handle
- ⑨ スロツトルレバー Throttle lever
- ⑩ 正逆転レバー Reversing lever
- ①マフラ Muffler
- ⑪ ハンドル枠 Handle frame
- 🔞 遠心クラッチドラム

Centrifugal clutch drum

①4)クラッチシュー

Centrifugal clutch shoe

- 15 ウォームシヤフト Worm shaft
- 16 ウォームホイール Worm wheel
- ⑪ 逆転ベベルギヤ Bevel gear (reverse)
- 18 正転ベベルギヤ Bevel gear
- 19 オイルシール Oil seal
- 20 植穴掘軸 Digging shaft
- ② 植穴掘刃 Auger
- ② ¬ ~ ∨ Cone
 - a. 側 面 In plan

- ① シリンダフイン Cylinder fin
- ② 燃料タンク Fuel tank
- ③ 燃 料 口 Inlet for fuel
- ④ スタータ Starter
- ⑤ プ ラ グ Ignition plug
- ⑥ 燃料コツク Fuel cock
- ⑦ エヤクリーナ Air cleaner
- ⑧ ハンドル Handle
- ⑨ 正逆転レバー Reversing lever
- ⑩ 遠心クラッチドラム

Centrifugal clutch drum

- (1) クラッチシュー Centrifugal clutch shoe
- ① 正転ベベルギヤ Bevel gear
- ③ シ フ タ Shifter
- ④ 逆転ベベルギヤ Bevel gear (reverse)
- (15) 正逆転ワイヤとスプリング

Reversing wire & spring

- (16) ウォーム Worm
- (17) オイルシール Oil seal
- ® ウオームホイール Worm wheel
- ⑲ ハンドル枠 Handle frame
- 20 植穴掘軸 Digging shaft
- ②植穴掘刃 Auger
- ② ¬ − ∨ Cone

b. 側 面 In profile

Fig. 25 TOR IV 型植穴掘機 DR IV type earth drill for tree-planting. 載するもので、試作順に形式名称をあたえてある。

なお、植穴掘刃については、林地の条件がいろいろ変化することが予想されるので、前述してきたシングルスパイラル形の標準刃のほかに、Photo. 14-a~d にしめすような、根切効果に重点をおいたもの、あるいは硬土の掘さくに重点をおいたものなどの考案試作をすすめ、林地の条件に応じて選択使用することができるようにつとめた。

6. お わ り に

この実験と試作をすすめている間に、現場あるいはメーカの方々から、いろいろな注文あるいは質問を うけた。現場の方からは、最近の労務事情の悪化からこの種の機械の早急なる完成を督促されたものであ り、メーカの方からはどうつくつたらよいかという問いを主とするものであつた。われわれの実験と試作 品は、このような要望に、すべての点で満足すべき答えを与えているとは思わないが、林業機械研究とし てわれわれのできる範囲での答えは出すように努力したつもりである。

この種の林業機械が製品となつて、林業の生産性向上に一役をになつて全面的に普及するようになるには、いままでの林業機械発展の過程から推察すると、最近の一般機械工業の分野の進歩がいちじるしく加速化されているのにくらべると、すくなくとも数年の日子を必要としているようで、いささか加速度が低いきらいがある。林業機械を製品化する上には需要の問題をはじめいろいろむずかしい条件があるけれども、バイオニヤとしてのわれわれのこの試作機が、使用者側の批判にたえて(われわれの試作機と同構造のものは、この秋でようやく百数十台、使用者側の手にわたつたときいている)、よりいつそう、製品として改良高性能化され、同種の林業機械の開発、普及に役だつことができれば、筆者の喜びこれにすぐるものはない。

なお、最近民有林でとくに関心をもたれている。山村でのポプラその他早成樹種の植栽に、50 cm 以上の直径および深さをもつた植穴掘りを可能とするような植穴掘機の出現を必要とされているが、われわれの研究室でも、国産動力耕うん機を利用し、土質の硬軟に応じて自由に刃先の回転速度をかえることのできる植穴掘機を、昭和36年度中に試作終了する予定でいることを付言して、この報告をおわりたい。

文 献

- 1) FAO: Equipment for setting out Fence Posts, Forestry Equipment Notes A. 16. 59, (Apr., 1959) Rome, pp. 7
- 2) FAO: Oversize Hole Digger for Arid Zone planting. F. E. N. A. 17, 59, (Jun., 1959) Rome, pp. 4
- 3) 早坂不二雄:ソ連の林業 (6)—MB-1型植穴掘機, 林業機械化情報, No. 90, (May, 1931) p. 94~95
- 4) Kaminsky, G.: Forsttechnische Umschau-Pflanzlochbohrer, Forstarchiv, 27, (Jan., 1956) p. 24
- LOYCKE, H. J.: Forsttechnische Umschau-Forstliche Kleinschlepper, Forstarchiv, 28, (Jan., 1957) p. 21~24
- 6) Meyr, R.: Möglichkeiten der mechanisierten Bodenbearbeitung zur Vorbereitung der natürlichen Verjüngung und Aufforstung, Allgemeine Forstzeitung, 70, (Apr., 1959) Wien, p. 79~84
- 7) 山脇三平·富永 貫·三村和男:1人用植穴掘機,71回日林大会講,(Apr.,1961) p.335~337

参 考

注 1)
$$Vcn = \frac{\pi DN}{60 \times 1,000}$$

ここで Vcn:刃の同心円各周速 m/sec, D:刃の同心円各直径 mm

N :植穴掘軸回転数 rpm

注 2) F = Pl

ここで F:両手にはたらく偶力 $m \cdot kg$, P:片手の最大把持力 kg

L : 両手の把持間隔 m

 ≥ 3) $F_0 = \mu P_0$

ここで F_0 : 遠心クラッチのシュー1個がドラムを回転させようとする力 kg

 P_0 : 遠心クラッチのシュー1個が遠心力の作用でドラムに押しつける力 kg

μ : ドラム内面とシュー外周の摩擦係数

$$T_0 = \frac{D_0 \cdot F_0 \cdot n}{2} = \frac{D_0 \cdot \mu P_0 \cdot n}{2}$$

ここで T_0 :遠心クラッチの伝達トルク $m \cdot kg$ D_0 :遠心クラッチドラムの内径m

n :遠心クラッチシューの数

注 4)
$$R_{III} = \frac{Z_6}{n} \cdot \frac{Z_2}{Z_1}$$

$$R_{III}r = \frac{Z_6}{n} \cdot \frac{Z_5}{Z_3}$$

ここで R_{II} , R_{II} r: 正転および逆転減速比, n: ウォームの口数

 Z_6 : p_1 - ムホイールの歯数, Z_1 , Z_2 : 正転平歯車の歯数

Z₃, Z₄, Z₅: 逆転平歯車の歯数

注 5)
$$R_N = \frac{Z_4}{n} \cdot \frac{Z_2}{Z_1}$$

ここで Ry:正逆転減速比, n:ウォームの口数

 Z_4 : ウォームホイールの歯数, Z_1 , Z_2 , Z_3 : 正逆転かさ歯車の歯数

ここで au:中実丸軸に生ずるねじり応力 kg/cm^2 , T: 伝達トルク $cm \cdot kg$

d:軸径 cm

 $\tau' = 16 \text{ TD/}\tau \text{ (D}^4\text{-d}^4\text{)}$

ここで au':中空丸軸に生ずるねじり応力 kg/cm^2 , D:中空丸軸の外径 cm

d : 中空丸軸の内径 cm

$$\beta = 1 + \frac{C_1 \sigma}{C_2 + \rho/d} (1 - e^{-C_3 d}) \left\{ 1 - e^{-C_4 (1 - d/D)} \right\}$$

ここで β :段付軸の切欠係数, D:段付軸の太い方の軸径 mm

d : 段付軸の細い方の軸径 mm, ρ: 段の丸味半径 mm

 σ : 材料の引張強さ kg/mm^2 , $c_1\sim c_4$: 定数, 0.00075, 0.035, 0.1, 5.75

k = 1.0 - 0.2 b/d - 1.1 h/d

ここで
$$k: +-$$
みぞつきの軸とない軸との強度比, $b: +-$ みぞの幅 mm $h: +-$ みぞの深さ mm , $d: 軸 径 $mm$$

$$P_B = \frac{n}{5} k d 1$$

ここで PB:心向きころ軸受の許容荷重 kg, n:ころの数d:ころの直径 cm, 1:ころの長さ cm, k:係数(低速 60 kg/cm²)

$$P_{B}$$
, = $\frac{1}{5}$ nkd² (心向き) = nkd² (スラスト)

ここで PB':(心向き, スラスト) 玉軸受の許容荷重 kgn:玉の数, d:玉の直径 cm, k:係数

注 7)
$$\tau_{max} = (16/\pi D^3) \sqrt{[M+PD\{1+(d/D)^2\}/8]^2+T^2}/\{1-(d/D)^4\}$$

$$\sigma_{max} = (16/\pi D^{8}) \left(M + PD \left\{ 1 + (d/D)^{2} \right\} / 8 + \sqrt{\left[M + PD \left\{ 1 + (d/D)^{2} \right\} / 8 \right]^{2} + T^{2}} \right) / \left\{ 1 - (d/D)^{4} \right\}$$

ここで au_{max} :最大せん断応力 kg/cm^2 , σ_{max} :最大主応力 kg/cm^2 ,

M:曲げモーメント $cm \cdot kg$, T:ねじりモーメント $cm \cdot kg$.

P:軸力 kg, D:中空丸軸の外径 cm,

d:中空丸軸の内径 cm

Studies on Silvicultural Machines. Report No. 1 Earth drill for tree-planting.

Sampei Yamawaki, Mitsugu Tominaga, Kazuo Mimura and Osamu Hiramatsu

(Résumé)

The demand of machinery for land preparation and forest establishment has accelerated steadily for these few years, not only in Japan but also in other advanced countries. One-man portable brush cutting machines are now broadly used throughout this country and have become essential in land preparation for tree-planting, because the shortage of forest workers is now conspicuous so the labor productivity in our forests must be improved by means of forest mechanization.

Tree-planting operations in the steep mountain forest of this country are still done almost entirely manually, and the workers' labor productivity and quality of operation seemed to be very low. Accordingly, many foresters have now recognized that the original forest machinery for tree-planting suitable for operating in these steep mountain forests, must be developed as soon as possible.

This being so, the authors have conducted some experiments touching upon the capacity

of earth drilling by useful augers for planting operation, after inquiring into overseas materials about them. From these results, we have a new one-man portable earth drill for tree-planting and have manufactured DR-III & IV type earth drills on trial which are actually used in our forests.

Most of the earth drills made abroad are served for setting out poles, firstly, and planting trees, secondly. They are broadly divided into three groups: from one to two-man carrying portable type, hand-tractor mounted type, and tractor mounted type. Their shapes of augers are roughly divided into four groups: spiral type (single & double), propeller type, fork type (tentatively named by us) and the other special type (see Photo. $1\sim8$). Among them, earth drills used for tree-planting are now mainly limited to portable type and hand-tractor mounted type throughout the world. However, one-man portable type earth drill for tree-planting weighing less than 15 kgs are now required in this country to make good the shortage of forest workers, because our mountain forests have very steep slopes.

Some results from our earth-drilling tests by means of a new experimental device, equipped with a torque pick-up with electric wire resistance strain gauge, connected to a torque indicator and a horsepower indicator (see Fig. 1, 2), are as follow:

a) Total earth-drilling torque to dig the hole for tree-planting, may be considered to be expressed by the following formula:

$$T = T_o + Tv_p + Th + Tw + Tv_c + Tr. g$$
provided

T = total earth-drilling torque, $m \cdot kg$

To = driving torque of earth drill itself on no load, m. kg

 T_{Vp} = torque influenced by the penetrating speed of earth auger, $m \cdot kg$

Th = torque influenced by the hardness of soil, $m \cdot kg$

Tw = torque influenced by the moisture content of soil, $m \cdot kg$

Two=torque influenced by the peripheral speed of earth auger, $m \cdot kg$

Tr. g=torque influenced by roots, gravel and the others under the ground, $m \cdot kg$

b) The torque of earth drill influenced by the penetrating speed of auger Vp is:

$$Tv_p = a + bV_p + cV_{p^2}$$

where a, b & c are constant depending on the soil condition and the shape of auger (see Fig. 8).

c) The torque of earth drill influenced by the hardness of soil H is:

$$Th = a' + b' H$$

where a' & b' are constant (see Fig. 9).

- d) The torque of earth drill increases as the moisture content of soil does under the saturation point (see Fig. 10).
- e) The torque of earth drill influenced by the peripheral speed of auger Vc is:

$$Tve = a'' Ve^{b''}$$

where a" & b" are constant (See Fig. 17, Table 3).

- f) The torque requirements for earth-drilling are different depending upon the shape of auger:
 Single spiral ≤ Propeller < Fork
- g) The propeller, double spiral, and fork type augers are easy to be caught by fine roots of grass, creeper and brush over the forest land. And so they can not often dig the hole easier than the single spiral type auger can.
- h) The combined force on both hands holding the handle of a one-man portable earth drill

is desired to be smaller than $15 \, m \cdot kg$ or so, at its maximum to hold it safely, when the shock load is given to the auger which cuts roots of brush or push gravel under the ground,

In the case of digging holes for tree-planting in this country, we need not make the hole in the forest land, but to mix both top and subsoil from 30 to 40 cm deep under the ground, without scattering the humus soil covered on the ground. We need rather to cut roots of brush, creeper and grass which spread deep into the soil, as much as possible.

From results obtained at both experimental and field tests, therefore, one-man portable earth drill suitable for tree-planting in this country is desired to have about 3.0 m/sec peripheral speed of auger i.e. from 200 to 300 rpm of auger with 180 to 250 mm diameter, in the author's opinion. It is just these things that determine many problems faced by the user; in other words, they lead to the possibility of the manufacturer producing a lighter earth drill, for the reduction gear-ratio takes from 1:20 to 1:25.

Thereupon, the author designed two new one-man portable earth drills, DR-III & IV types having the following characteristics of performance (see Fig. 24, 25; Photo. $10\sim13$; Table 5):
a) The auger has a special single spiral type with one and a half pitches, both upper and lower parabolic edge in proportion to the peripheral speed of each point on the radius of it, and more teeth having underside knife edge for cutting roots when occasion demands(see Photo. 14).
b) The transmission gear is constituted of both reduction and reverse gear which is compactly designed: DR-III type has selective spur gear and DR-IV type has constant-mesh bevel gear for reversing. The operator can easily pull the auger out of the soil by means of the reversing gear after digging a hole, without scattering the humus soil away from the planting-hole, which can be a fertilizer for nursery trees.

c) The engine of DR-III type is a 2-cycle, air-cooled, gasoline engine with one cylinder (76.5 cc piston displacement) which is now used for chain saws made in Japan. The one of DR-IV type is the same type gasoline engine with one cylinder (50 cc piston displacement) which is now used for brush cutters made in Japan. Accordingly, the former engine can also be used as a chain saw and brush cutter by the exchange of its attachment. The latter engine can also be used as a brush cutter by the exchange of its attachment.